# GRB 231115A — ГИГАНТСКАЯ ВСПЫШКА МАГНИТАРА В ГАЛАКТИКЕ M82

© 2024 г. П.Ю. Минаев<sup>1, 2</sup> \*, А.С. Позаненко<sup>1, 3</sup>, С.А. Гребенев<sup>1</sup>, И.В. Человеков<sup>1</sup>, Н.С. Панков<sup>1, 3</sup>, А.А. Хабибуллин<sup>3</sup>, Р.Я. Инасаридзе<sup>4</sup>, А.О. Новичонок<sup>5</sup>

<sup>1</sup>Институт космических исследований РАН, Москва, Россия <sup>2</sup>Физический институт им. П. Н. Лебедева РАН, Москва, Россия <sup>3</sup>НИУ "Высшая школа экономики", Москва, Россия

<sup>4</sup>Грузинская национальная астрофизическая обсерватория им. Евгения Харадзе, Абастумани, Грузия 
<sup>5</sup>Петрозаводский государственный ун-т, Петрозаводск, Россия 
Поступила в редакцию 18.11.2023 г. 
После доработки 20.11.2023 г.; принята к публикации 21.11.2023 г.

Представлены результаты исследования короткого гамма-всплеска GRB 231115A в рентгеновском и гамма-диапазонах по данным космических обсерваторий INTEGRAL и Fermi. Источник всплеска локализован телескопом IBIS/ISGRI обсерватории INTEGRAL с точностью  $\leq$ 1.5, он находится в галактике Сигара (М 82). Проведены оперативные наблюдения области всплеска в оптическом диапазоне на 36-см телескопе в Китабе Международной сети телескопов ИПМ им. М. В. Келдыша РАН и на 70-см телескопе AS-32 Абастуманской астрофизической обсерватории. Оптическое излучение обнаружить не удалось. Близость родительской галактики ( $D_L \simeq 3.5 \, \mathrm{Mnk}$ ) существенно ограничивает энергетику события ( $E_{iso} \sim 10^{45} \, \mathrm{spr}$ ) и позволяет интерпретировать его как гигантскую вспышку ранее неизвестного источника повторных мягких гамма-всплесков (Soft Gamma Repeater или SGR) — экстремального проявления активности нейтронной звезды со сверхсильным магнитным полем (магнитара). Данный вывод подтверждает нетипично жесткий для космологических гамма-всплесков энергетический спектр, а также отсутствие оптического послесвечения и гравитационно-волнового сигнала, который должен был бы быть зарегистрирован антеннами LIGO/Virgo/KAGRA, если бы всплеск был вызван слиянием нейтронных звезд. Положение всплеска на диаграммах  $E_{p,i} - E_{iso}$  и  $T_{90,i} - EH$  также свидетельствует о том, что GRB 231115A был гигантской вспышкой магнитара. Отметим, что это первая хорошо локализованная гигантская вспышка внегалактического SGR.

*Ключевые слова:* вспышки гамма-излучения, космические гамма-всплески, слияния нейтронных звезд, источники повторных мягких гамма-всплесков, магнитары.

DOI: 10.31857/S0320010824010012, EDN: ORDQKU

# **ВВЕДЕНИЕ**

Существование двух разных типов космических гамма-всплесков (GRBs) было впервые обнаружено в эксперименте КОНУС (Мазец и др., 1981) и в дальнейшем подтверждено наблюдениями прибора CGRO/BATSE (Кувелиоту и др., 1993) при анализе распределения всплесков по параметру длительности  $T_{90}$ . Короткие всплески (длительностью менее 2 с) характеризуются более жестким спектром (с большей долей высокоэнергичного излучения) и менее выраженной спектральной эволюцией (задержкой низкоэнергичного излучения относительно высокоэнергичного) по сравнению со длинными всплесками ( $T_{90} \gtrsim 2$  с, например, Кувелиоту и др., 1993; Норрис и др., 2005; Минаев и др., 2010а, 2012, 2014). При этом распределения

этих двух типов по длительности и спектральной жесткости, традиционно используемые для классификации всплесков, значительно перекрываются, оставляя актуальной вплоть до настоящего времени проблему классификации всплесков в области пересечения распределений (см., например, Дезалай и др., 1997; Минаев и др., 20106; Минаев, Позаненко, 2017; Тарнопольский, 2019).

Считается, что короткие гамма-всплески (позднее обозначенные как всплески типа I) связаны со слиянием двух нейтронных звезд (Блинников и др., 1984; Пачинский, 1986; Межарос, Рис, 1992), что недавно было подтверждено регистрацией событий GRB/GW 170817 и GRB/GW 190425 гравитационно-волновыми детекторами LIGO/Virgo (Эбботт и др., 2017а, б; Позаненко и др., 2018, 2019). Некоторые всплески типа I сопровождаются дополнительной компонентой излучения

<sup>\*</sup> Электронный адрес: minaevp@mail.ru

с длительностью в десятки секунд и более мягким (по сравнению с основным эпизодом излучения) спектром — продленным излучением, природа которого до сих пор не выяснена (Коннатон, 2002; Джерелс и др., 2006; Россвог, 2007; Метцгер и др., 2008; Минаев и др., 2010а; Норрис и др., 2010; Барков, Позаненко, 2011).

Длинные гамма-всплески (типа II) считаются связанными с коллапсом ядра массивной звезды (Вусли, 1993; Пачинский, 1998; Межарос, 2006), некоторые из них, наиболее близкие к наблюдателю, сопровождаются вспышками сверхновых типа Ic (см., например, Галама и др., 1998; Пачинский, 1998; Кано и др., 2017; Вольнова и др., 2017; Белкин и др., 2020, 2024).

Существуют аномалии в соотнесении длительности гамма-всплесков и их типа, когда короткие гамма-всплески сопровождались вспышками сверхновых (например, GRB 200826A, Росси и др., 2022), или, наоборот, объективно длинный GRB 230307A был ассоциирован с килоновой (Леван и др., 2023). Таким образом, корректная классификация гамма-всплесков, наряду с определением красного смещения их родительских галактик, имеет важное значение для исследования их источников.

Короткие вспышки жесткого гамма-излучения характерны также для некоторых источников повторных мягких гамма-всплесков (SGR, Голенецкий и др., 1979; Мазец и др., 1979а) во время их экстремальной активности (так называемые гигантские вспышки, например, Мазец и др., 1979б, 2008; Томпсон, Дункан, 2001; Фредерикс и др., 2007). Кривая блеска гигантской вспышки состоит из короткого (доли секунды), жесткого и очень яркого основного эпизода, за которым может следовать длительное (сотни секунд) и значительно более слабое продленное излучение, характеризующееся периодичностью, связанной с вращением нейтронной звезды, в магнитосфере которой произошла гигантская вспышка. Все подтвержденные длительными наблюдениями источники мягких повторных гамма-всплесков находятся в Галактике, до сих пор гигантские вспышки были зарегистрированы от четырех из них. Однако основной короткий эпизод гигантской вспышки может быть зарегистрирован и из ближайших к нам галактик. Например, гигантская вспышка от SGR 1806-20 могла бы быть зарегистрирована на расстоянии 30-50 Мпк (Орли и др., 2005; Накар и др., 2005). Несколько кандидатов в гигантские вспышки SGR. возможно, произошедших в близких галактиках, были предложены на основе результатов триангуляции IPN (см., например, Фредерикс и др., 2007; Мазец и др., 2008).

Наблюдаемые свойства гигантских вспышек (временной профиль, жесткость и спектральная

эволюция излучения) и их частота (до сих пор не было зарегистрировано повторных гигантских вспышек ни от одного известного SGR) во многом аналогичны свойствам космических гамма-всплесков типа I. Это вносит определенную сложность при классификации транзиентных гамма-событий (Мазец и др., 2008; Минаев, Позаненко, 2020б). Самым надежным методом выявления источников SGR является обнаружение периодичностей в хвосте их кривых блеска. Периодичность была найдена для многих галактических SGR, например: SGR 0520-66 (Мазец и др., 1979б), SGR 1806-20 (Мазец и др., 2005; Палмер и др., 2005), SGR 1900+14 (Мазец и др., 1999; Ферочи и др., 1999). Были найдены пульсации после нескольких коротких гамма-всплесков, зарегистрированных в эксперименте BATSE/CGRO, например, GRB 930905 (Позаненко и др., 2005) и GRB 970110 ( Крайдер, 2006), и эти гамма-всплески также могут рассматриваться как кандидаты в гигантские вспышки неотождествленных SGR. Источники мягких повторных гамма-всплесков, наиболее вероятно, связаны с магнитарами – одиночными нейтронными звездами со сверхсильными магнитными полями ( $B \ge 10^{14}$  Гс). Невероятная мощность и физическая причина их гигантских вспышек остаются невыясненными (Дункан, Томпсон, 1992; Томпсон, Дункан, 1995; Кувелиоту и др., 1999).

Локализация короткого гамма-всплеска GRB 231115A с точностью лучше 2', выполненная в рамках оперативного (Quick Look) анализа телеметрических данных гамма-телескопа IBIS/ISGRI обсерватории INTEGRAL, надежно связывает его с близкой галактикой Сигара (M82) с активным звездообразованием (Бернс, 2023), что позволяет предположить это событие вызванным не слиянием пары нейтронных звезд, а гигантской вспышкой ранее неизвестного источника мягких повторных гамма-всплесков, находящегося в этой галактике (см., например, Д'Авансо и др., 2023а; Минаев, Позаненко, 2023б).

В работе представлены результаты наблюдений и анализа GRB 231115A в гамма-диапазоне по данным обсерваторий INTEGRAL и *Fermi* и собственных ранних оптических наблюдений области локализации с целью выяснения природы источника всплеска, в том числе с использованием классификации, основанной на корреляции параметров полной энергии  $E_{iso}$ , спектральной жесткости  $E_{p,i}$  (Амати и др., 2002) и длительности гамма-всплесков в системе источника  $T_{90,i}$ , предложенной Минаевым, Позаненко (2020а, б).

# РЕГИСТРАЦИЯ GRB 231115A И РАННИЕ НАБЛЮДЕНИЯ

Всплеск GRB 231115A длительностью около 0.1 с и жестким спектром изучения, что характерно как

для гамма-всплесков типа I (коротких), так и для гигантских вспышек магнитаров (SGRs), был зарегистрирован 15 ноября 2023 г. в  $15^{\rm h}36^{\rm m}21^{\rm s}20$  UT космическими гамма-детекторами: Fermi/GBM (Далесси и др., 2023), INTEGRAL/IBIS/ISGRI (Мерегетти и др., 2023), KONUS-Wind (Фредерикс и др., 2023), Glowbug (Чеунг и др., 2023), Insight-HXMT/HE (Ксю и др., 2023), Swift/BAT (Рончини и др., 2023).

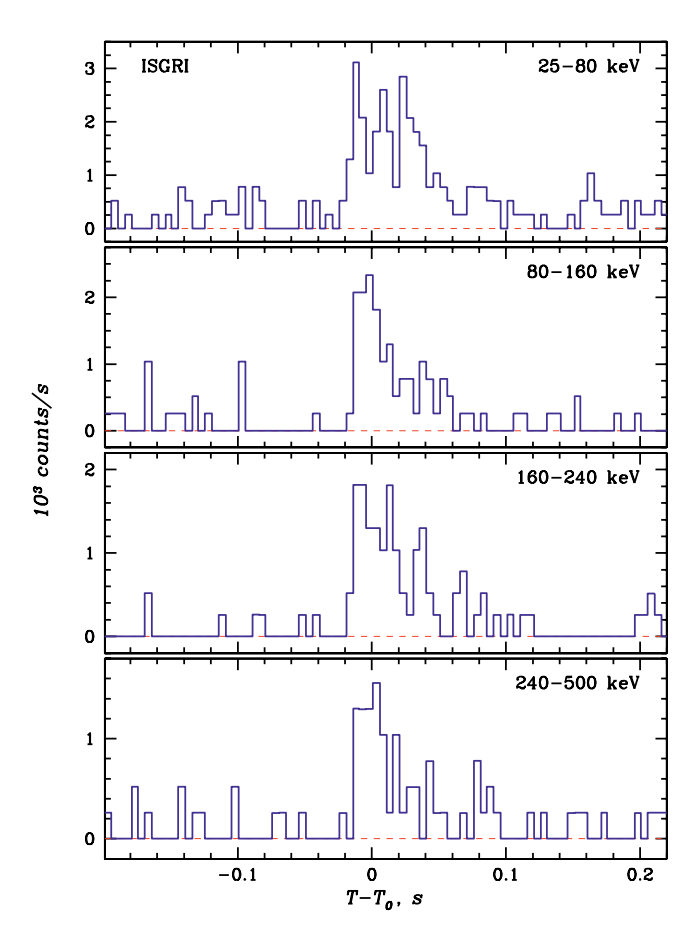
Всплеск был зарегистрирован в поле зрения телескопа IBIS/ISGRI, благодаря этому его положение было определено с точностью лучше 2', что позволило установить родительскую галактику — М82 (Д'Авансо и др., 2023а; Бернс, 2023; Мерегетти и др., 2023). Высокая точность локализации инициировала поиск возможного излучения в других диапазонах энергии. Попытки наблюдения оптического послесвечения, предпринятые множеством научных групп на разных телескопах, не увенчались успехом (Липунов и др., 2023а, б; Балануца и др., 2023; Искандар и др., 2023; Чен и др., 2023; Жианг и др., 2023; Хаяцу и др., 2023; Перли и др., 2023; Д'Авансо и др., 2023; Турпин и др., 2023; Ан и др., 2023; Ху и др., 2023). Оптический кандидат, обнаруженный на 0.7-м телескопе GROWTH-India (Кумар и др., 2023а), после более глубокого анализа оказался артефактом (Кумар и др., 2023б).

Рентгеновские телескопы Swift/XRT и NuSTAR не обнаружили следов рентгеновского послесвечения спустя соответственно 2.5 и 4 часа после триггера (Осборн и др., 2023; Грефенстетте, Брайтман, 2023). В эксперименте MAGIC получен верхний предел на поток гамма-излучения в диапазоне выше 250 ГэВ спустя 8 часов после всплеска (Коллаборация MAGIC, 2023). Радиотелескоп СНІМЕ/FRB также не смог обнаружить от источника какой-либо активности, например, вспышки, похожей на быстрый радиовсплеск (FRB) в диапазоне 400—800 МГц (Картин, 2023).

Наконец, гравитационно-волновые детекторы LIGO/Virgo/KAGRA не зарегистрировали сигнал, который должен был бы сопровождать слияние двух нейтронных звезд, если бы зарегистрированный всплеск действительно относился к коротким гамма-всплескам, вызванным такими слияниями (Коллаборация LIGO и др., 2023). Не обнаружен и нейтринный сигнал в эксперименте IceCube (Коллаборация IceCube, 2023).

# АНАЛИЗ ДАННЫХ ОБСЕРВАТОРИИ INTEGRAL

Международная астрофизическая лаборатория гамма-лучей INTEGRAL (Винклер и др., 2003; Куулкерс и др., 2021) работает на высокоапогейной орбите уже 22-й год. На борту находятся несколько широкоугольных телескопов с кодирующей апертурой, способных строить изображение



**Рис. 1.** Временной профиль всплеска GRB 231115A по данным телескопа IBIS/ISGRI обсерватории INTEGRAL в четырех диапазонах энергий с разрешением 5 мс.

неба и проводить полноценный анализ энергетических спектров и переменности излучения разнообразных космических источников: гамма-телескоп IBIS с двумя детекторами: ISGRI (Лебран и др., 2003), чувствительным в диапазоне 20–400 кэВ, и PICsIT (Лабанти и др., 2003), чувствительным в диапазоне 200 кэB - 10 MэB, гамма-спектрометр SPI (Ведренн и др., 2003) с охлаждаемыми германиевыми детекторами, чувствительный в диапазоне 20 к $_{9}$ В — 8 М $_{9}$ В, и два рентгеновских телескопа ЈЕМ-Х (Лунд и др., 2003), чувствительных в диапазоне 4—30 кэВ. Отметим также антисовпадательную защиту ACS гамма-спектрометра SPI (Рау и др., 2005), работающую как всенаправленный детектор большой площади в диапазоне 85 кэВ - 10 МэВ и записывающую темп счета фотонов с временным разрешением 50 мс.

Всплеск был зарегистрирован во время плановых наблюдений поля галактики М 81, проводимых по заявке АО-20 # 2020020 (рук. И. А. Мереминский). Сразу после обнаружения всплеска данные всех инструментов во временном интервале,

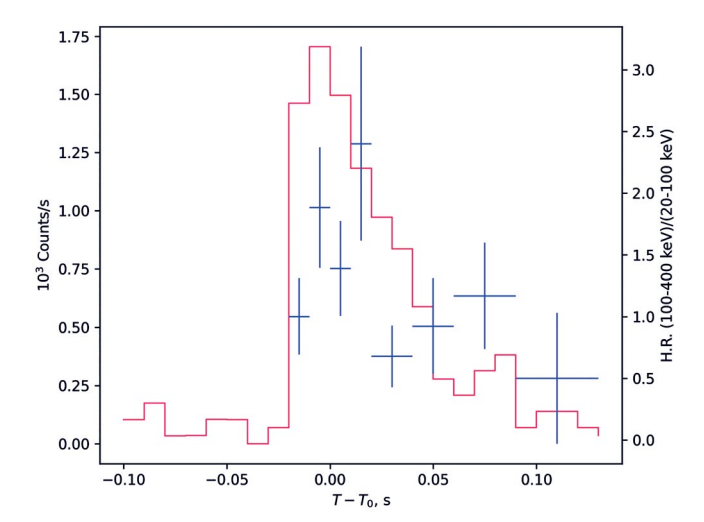


Рис. 2. Эволюция жесткости излучения GRB 231115A — отношения числа фотонов, зарегистрированных телескопом IBIS/ISGRI в диапазонах 100—400 и 20—100 кэВ (синие кресты, шкала справа). Красной линией для сравнения показан профиль всплеска с разрешением 10 мс в широком диапазоне энергий 20—400 кэВ (нормировка приведена на левой шкале). Видно, что в первые ~40 мс всплеска жесткость его излучения нарастала и была в среднем в 1.5—2 раза выше, чем в последующие ~80 мс.

начиная с 3 часов до всплеска и вплоть до 24 часов после него, были переданы авторам настоящей работы в рамках заявки AO-20 # 2040014 (рук. П. Ю. Минаев) для детального анализа и всестороннего исследования всплеска.

#### Временной профиль всплеска

Всплеск GRB 231115A попал в поле зрения основных телескопов обсерватории, что позволило его оперативно обнаружить и исследовать с помощью автоматической системы IBAS, осуществляющей быстрый анализ данных телескопа IBIS/ISGRI и распространяющей оповещения о локализованных гамма-всплесках через систему GRB Coordinate Network (Мерегетти и др., 2023).

На рис. 1 приведены временные профили всплеска, полученные детектором IBIS/ISGRI в четырех разных диапазонах энергий (записи скорости счета с разрешением 5 мс). Время отсчитывается от времени триггера события монитором Fermi/GBM (Далесси и др., 2023), скорректированного на 0.47 с временной задержки из-за большой удаленности спутника INTEGRAL от Земли в момент всплеска. Видно, что всплеск жесткий (отчетливо наблюдается до 500 кэВ), на энергиях >80 кэВ имеет временной профиль по форме близкий к профилю FRED (быстрый подъем — экспонециальный спад) с длительностью менее

120 мс, что позволяет отнести его к всплескам типа I (коротким) или гигантским вспышкам ранее неизвестного магнитара. В то же время видно, что максимальное число фотонов было зарегистрировано в наиболее мягком диапазоне IBIS/ISGRI ( $\leq$ 80 кэВ). Профиль всплеска в этом диапазоне меняется, становится тумбообразным с широкой ( $\Delta T \simeq 60$  мс) вершиной, возможно, из-за суперпозиции последовательности нескольких коротких вспышек.

Это подтверждается и эволюцией жесткости излучения GRB 231115A, приведенной на рис. 2. Жесткость излучения (синие кресты, правая шкала) определена как отношение числа фотонов, зарегистрированных телескопом IBIS/ISGRI в диапазонах 100-400 и 20-100 кэВ. Для сравнения красной линией показан временной профиль всплеска в широком 20-400 кэВ диапазоне (учтены только фотоны, вероятность ассоциации которых со всплеском составляет более 20%). Видно, что наиболее жесткое излучение было зарегистрировано в первые ~40 мс длительности всплеска, причем все это время жесткость плавно росла. Ее среднее значение  $HR = 1.55 \pm 0.22$ . В последующие ~80 мс жесткость излучения значимо (на уровне 3.9σ) уменьшилась в 1.9 раз до значения  $HR = 0.80 \pm 0.17$ . Падение жесткости излучения к концу события наблюдается у многих гамма-всплесков. У гигантских вспышек магнитаров эволюция жесткости исследована плохо из-за их исключительной яркости, приводящей к переполнению большинства приборов.

Всплеск был зарегистрирован и другими приборами на борту обсерватории INTEGRAL. На рис. 3 приведены его временные профили, полученные по данным гамма-телескопов SPI, IBIS/PICsIT, SPI-ACS в сравнении с интегральным (в диапазоне 25-400 кэВ) профилем, полученным телескопом IBIS/ISGRI. Видно, что всплеск уверенно регистрируется до 500 к ЭВ и выше. Профили во многом (с точностью до статистических ошибок) повторяют друг друга. Отметим, что слегка перекошенная форма профиля всплеска, измеренная детектором SPI/ACS, может быть объяснена тем, что первый временной бин в записи скорости счета фотонов во время всплеска начался заметно раньше всплеска, что понизило измеренное в бине суммарное число фотонов. Источник не был зарегистрирован рентгеновскими телескопами ЈЕМ-Х, хотя находился всего в 3.8 от центра поля зрения этих телескопов, в области их достаточно высокой чувствительности. Верхний предел на рентгеновский поток от всплеска в диапазоне 3-20 кэВ (на уровне  $1\sigma$ ), полученный по данным двух телескопов ЈЕМ-Х в предположении длительности события в этом диапазоне энергий 50 мс, составляет 1.9 Краб, что соответствует потоку излучения  $4.7 \times 10^{-8} \text{ spr c}^{-1} \text{ cm}^{-2}$ .

#### Локализаиия

Важнейшим результатом стала локализация GRB 231115A. Первое сообщение о координатах нового всплеска было оперативно распространено автоматической системой IBAS (Д'Авансо и др., 2023а; Бернс, 2023; Мерегетти и др., 2023), что позволило быстро начать его наблюдения оптическими и радио телескопами по всему миру. На рис. 4 показано изображение неба в поле зрения телескопа IBIS/ISGRI размером 29° × 29°, накопленное нами в течение 120 мс длительности всплеска в диапазоне энергий 20-400 кэВ. За столь короткое время в поле на значимом уровне (отношения сигнала к шуму  $S/N \simeq 10.5$ ) был зарегистрирован лишь сам всплеск. Но главное – рисунок ясно показывает, что всплеск произошел в близкой, хорошо известной галактике М82 (Сигара), расположенной на расстоянии  $D_L = 3.5$  Мпк. Координаты источника R.A. =  $= 09^{h}55^{m}59.82$ , Decl.  $= +69^{\circ} 41'02.''40 (148.997^{\circ})$ +69.684°; эпоха 2000.0, неопределенность 1.5). На рис. 5 показаны контуры, соответствующие разным уровням отношения S/N для источника всплеска на этом изображении, наложенные на оптическое (в фильтре R) изображение галактики M82, полученное нами на 70-см телескопе AS-32 Абастуманской астрофизической обсерватории (через 10.7 часов после всплеска). Видно, что центр локализации попадает на диск галактики, не оставляя никаких сомнений в том, что она является родительской для GRB 231115A. В поле зрения телескопа находилось еще несколько известных внегалактических рентгеновских источников, в том числе ультраяркие источники в галактиках М81 и М82, ни один из них за столь короткую экспозицию на изображении не проявился и, очевидно, не мог внести вклада во временной профиль всплеска.

#### Спектр излучения

На рис. 6 показан спектр излучения  $vF_{v}(v)$  гамма-всплеска GRB 231115A, полученный по данным телескопа IBIS/ISGRI в диапазоне 20-400 кэВ. Спектр накоплен за все время события. Видно, что он очень жесткий, энергия, содержащаяся в излучении, растет с увеличением энергии фотонов. Попытка аппроксимации спектра с помощью простых однокомпонентных моделей powerlaw (PL), cutoffpl (CPL) или bbodyrad (BBR) оказалась не слишком успешной, что подтверждает визуальное впечатление о наличии в спектре двух компонент - мягкой и жесткой. При аппроксимации использовался пакет XSPEC, разработанный в NASA/HEASARC (Арно и др., 1996). Результаты аппроксимации (значения параметров и потоки излучения) сведены в табл. 1. Чуть лучшую аппроксимацию дает модель CPL:

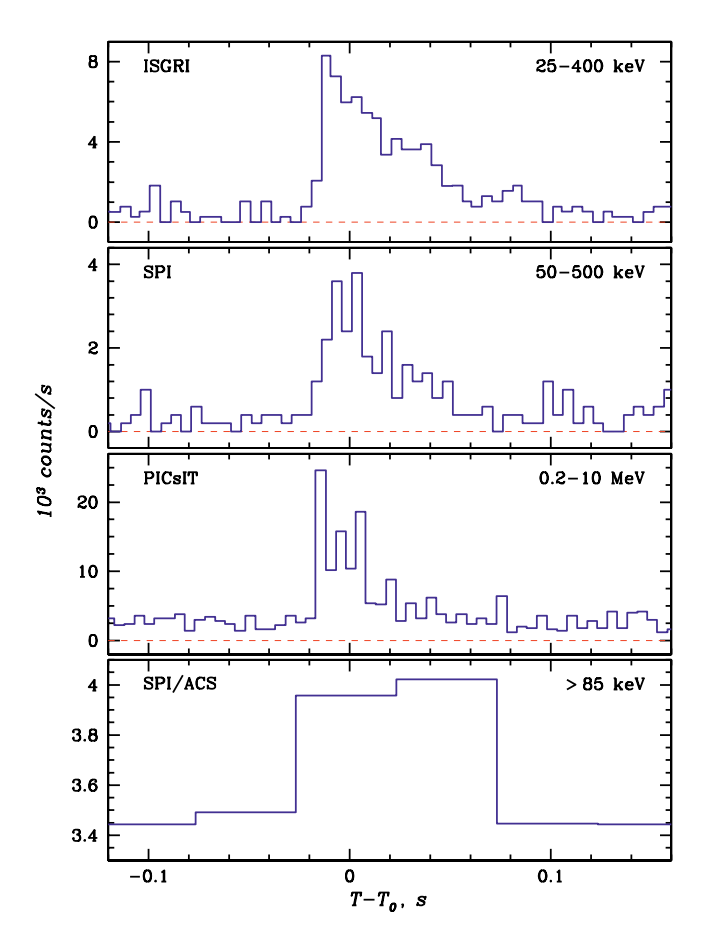
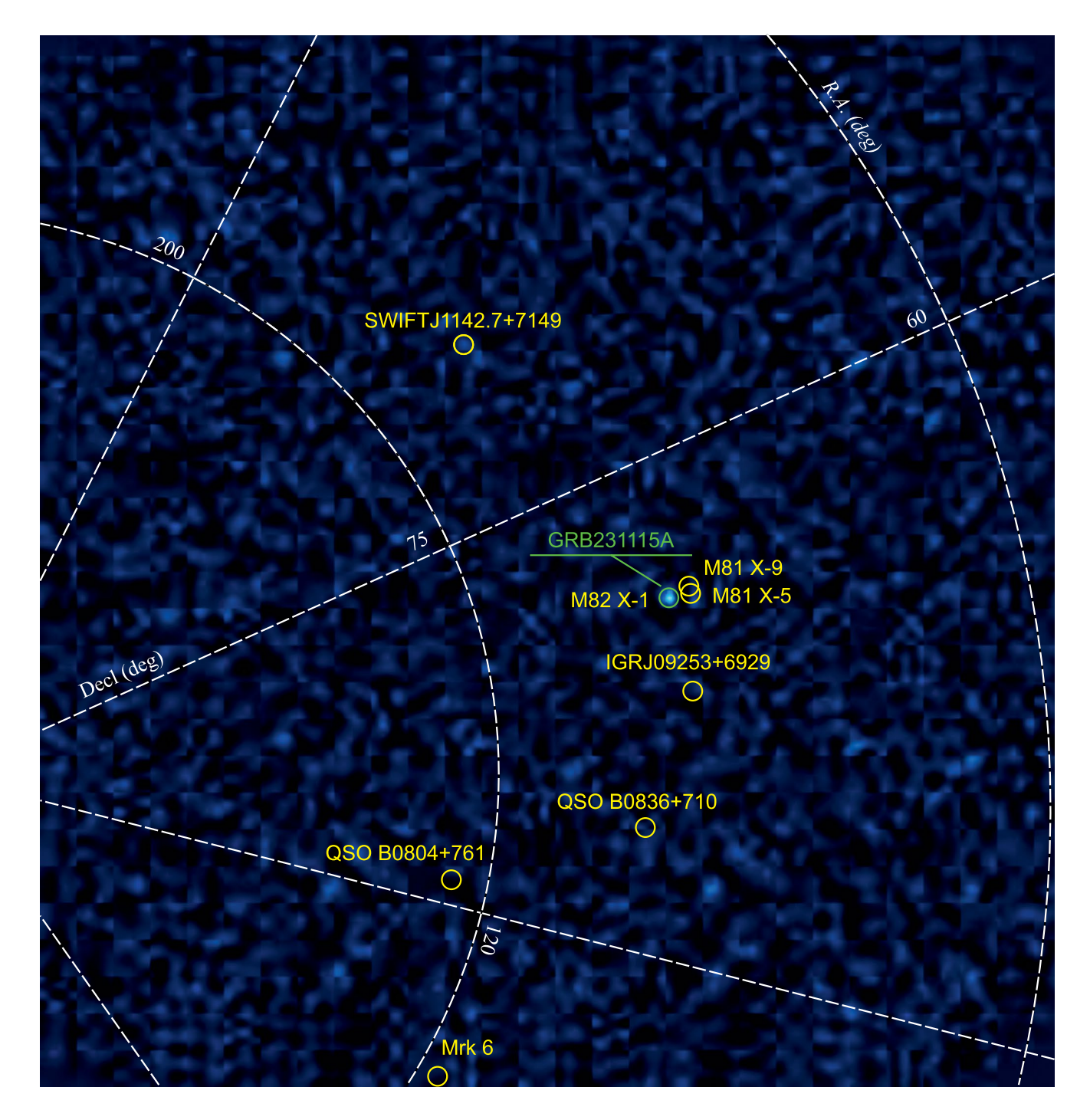


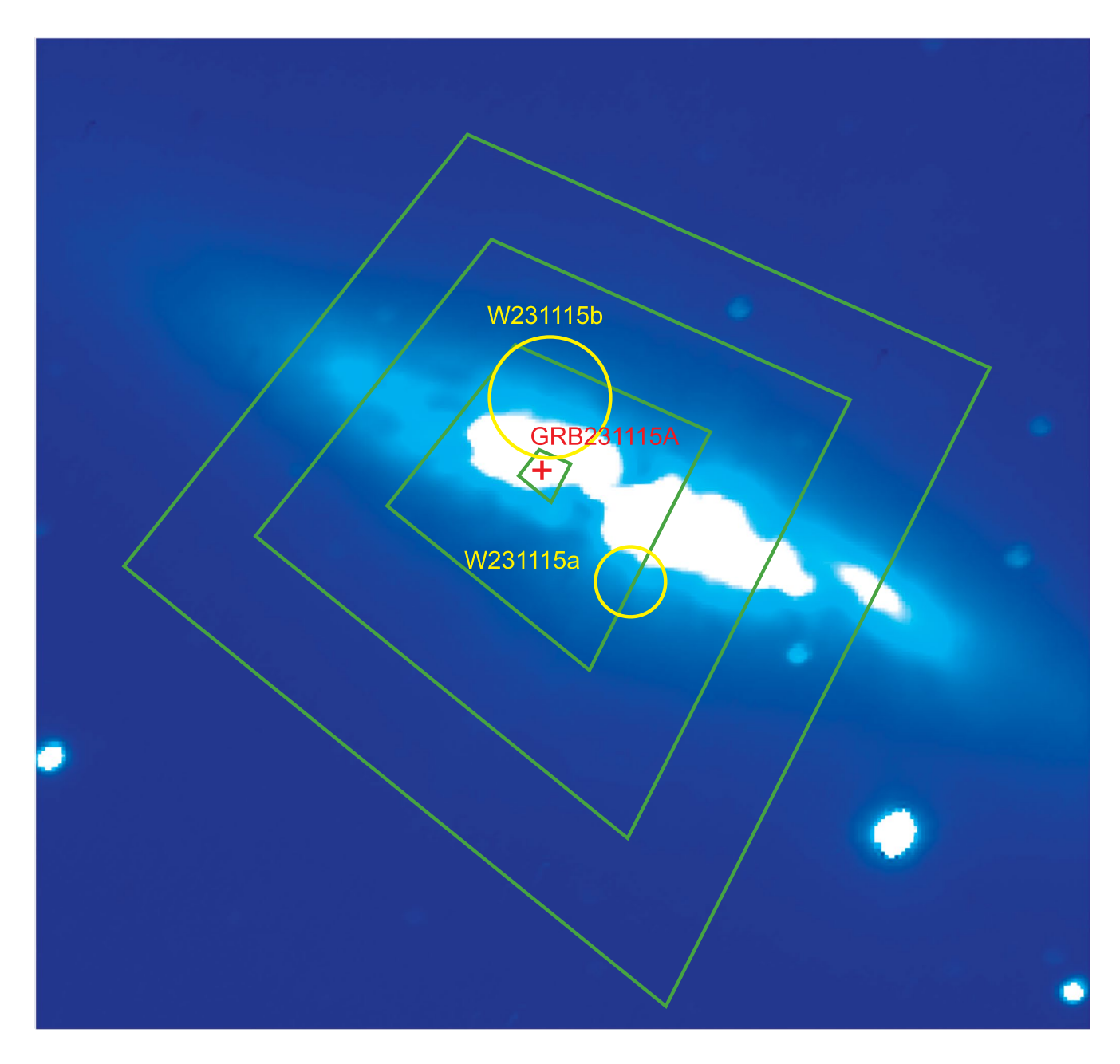
Рис. 3. Временной профиль всплеска GRB 231115A по данным четырех приборов обсерватории INTEGRAL: телескопов IBIS/ISGRI (25–400 кэВ) и IBIS/PICsIT (0.2–10 МэВ), гамма-спектрометра SPI (20–500 кэВ) и его защиты SPI-ACS (>85 кэВ). Временное разрешение 5 мс, кроме профиля, полученного детектором SPI-ACS с предельным разрешением 50 мс.

$$I_{v} = AE^{-\alpha} \exp(-E / E_c), \tag{1}$$

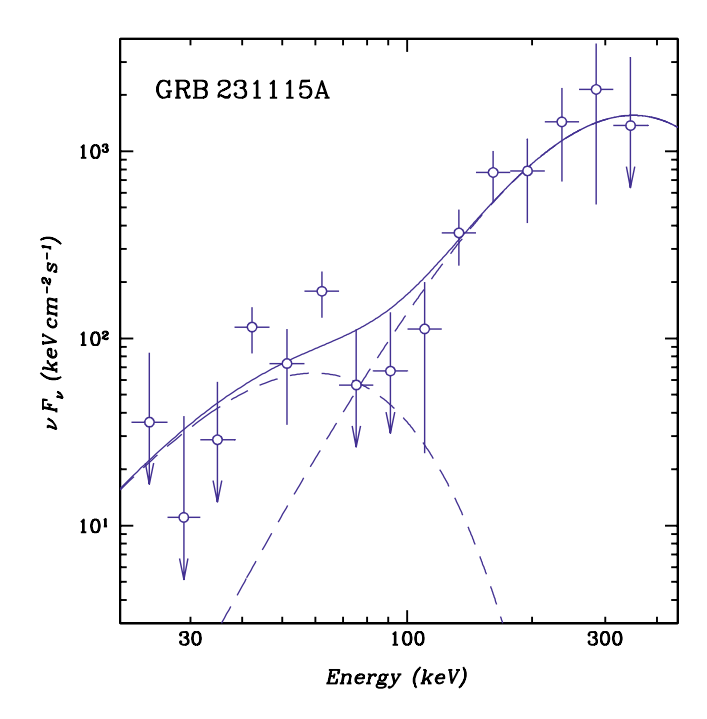
где  $I_{\rm v}$  — фотонный спектр излучения,  $\alpha$  — фотонный индекс и  $E_c$  – характерная энергия завала на высоких энергиях. Отметим, что средний фотонный индекс всплеска (по модели PL)  $\alpha \simeq 0.46$ , а значит спектральный индекс излучения (=  $\alpha - 1$ ) отрицательный и спектральная плотность излучения растет с энергией. Отметим также, что экспоненциальный завал в спектре на высоких энергиях по данным телескопа IBIS/ISGRI, на самом деле, не слишком достоверен. В частности, энергия завала  $E \simeq 330$  кэB, полученная при аппроксимации спектра моделью СРL, была определена с большими ошибками, а поэтому затем была зафиксирована и как свободный параметр не использовалась. Благодаря точному знанию родительской галактики всплеска (М 82) и болометрического



**Рис. 4.** Рентгеновское изображение неба (карта отношения S/N) в поле зрения телескопа IBIS/ISGRI обсерватории INTEGRAL, полученное во время гамма-всплеска GRB 231115A. Размер 29° × 29°, экспозиция 120 мс, диапазон энергий 20—400 кэВ. Обозначены известные в поле источники постоянного излучения. GRB 231115A — единственный, достоверно зарегистрированный источник ( $S/N \simeq 10.5$ ), совпадает по положению с галактикой M82 (на карте — с положением ультраяркого рентгеновского источника M82 X-1, расположенного в ее центральной области).



**Рис. 5.** Изображение области локализации всплеска GRB 231115A, полученное на 70-см телескопе AS-32 Абастуманской астрофизической обсерватории (спустя 10.7 часов после всплеска). Зеленые ромбы показывают контуры локализации всплеска на рентгеновской карте отношения *S/N*, полученной телескопом IBIS/ISGRI обсерватории INTEGRAL, третий контур от центра соответствует 90% уровню значимости (неопределенность 1:5). Кружки — два предложенных оптических кандидата (Ху и др., 2023, см. текст). Видно, что на самом деле источник всплеска с большой вероятностью расположен в ярком диске галактики M82, где его трудно выявить, а предложенные кандидаты выбраны в областях пониженной яркости на краю области локализации.



**Рис. 6.** Усредненный по полной длительности ( $\sim$ 120 мс) спектр излучения  $\nu F_{\nu}$  всплеска GRB 231115A по данным телескопа IBIS/ISGRI обсерватории INTEGRAL (в диапазоне 20–400 кэВ). Сплошной линией показан результат наилучшей аппроксимации моделью BBR+CPL, штриховыми линиями – отдельные компоненты модели.

расстояния до нее ( $D_L=3.5~{\rm Mnk}$ ), можно определить среднюю светимость источника всплеска в диапазоне 20–400 кэВ  $L_X\sim 2.9\times 10^{45}$  эрг с $^{-1}$ .

Более успешно спектр всплеска был аппроксимирован двухкомпонентными моделями BBR+BBR и BBR+CPL. Как видно из табл. 1, в обоих случаях мягкая компонента излучения может быть описана спектром чернотельного излучения с температурой  $kT_{bb} \sim 15$  кэВ и радиусом излучающей поверхности  $R_{bb} \simeq 170$  км. Отметим, что величина  $R_{bb}$  намного превосходит радиус типичной нейтронной звезды  $R_{ns} \simeq 12$  км, да и значение температуры  $kT_{bb}$  почти на порядок величины превосходит эддингтоновскую температуру для нейтронной звезды (если наблюдалась действительно вспышка магнитара), следовательно чернотельная фотосфера с такой температурой должна интенсивно оттекать. Очевидно, что использование чернотельного спектра для описания мягкой компоненты излучения всплеска физически не оправдано, а применялось нами для простоты и удобства. Если эта компонента действительно связана с раздувшейся фотосферой нейтронной звезды, ее спектр должен был формироваться в результате комптонизации и иметь виновскую форму. Отметим, что спектральный индекс жесткой степенной компоненты излучения (в модели CPL) отрицательный, а следовательно спектр

излучения очень круто растет в сторону высоких энергий. В использованной нормировке  $vF_v(v)$  из рисунка сразу видно, что основная энергия излучения приходится на самую жесткую часть спектра — содержится в фотонах с энергиями hv > 300 кэВ.

#### АНАЛИЗ ДАННЫХ МОНИТОРА FERMI/GBM

Монитор гамма-всплесков (GBM), размещенный на борту обсерватории {\sl Fermi}, состоит из 12 сцинтилляционных детекторов NaI, чувствительных в диапазоне 8—1000 кэВ, и 2 сцинтилляционных детекторов BGO, чувствительных в диапазоне 0.2—40 МэВ. Он предназначен для регистрации и детального изучения гамма-всплесков (Миган и др., 2009; Пацейсас и др., 2012).

Источником исходных данных монитора *Fermi/* GBM в работе является общедоступный FTP-архив (legacy.gsfc.nasa.gov/fermi/data/). В качестве нуля на временной шкале используется момент срабатывания триггера прибора *Fermi/*GBM: 15 ноября 2023 г. в 15<sup>h</sup>36<sup>m</sup>21:20 UT.

#### Структура кривой блеска

Анализ кривых блеска проведен по пособытийным (TTE) данным наиболее освещенных детекторов NaI\_06 — NaI\_09, NaI\_11, BGO\_01 эксперимента Fermi/GBM. Кривая блеска в трех каналах, охватывающих энергетический диапазон 10-850 кэВ, представлена на рис. 7. Параметр длительности  $T_{90}$  — промежуток времени, за который детектор регистрирует 90% полного числа отсчетов (см., например, Кошут и др., 1996), для GRB 231115A составляет  $T_{90}=65\pm1\,$  мс, что характерно как для гигантских вспышек SGRs, так и для коротких гамма-всплесков.

На рис. 7 видно, что форма кривой блеска GRB 231115А меняется в зависимости от энергетического диапазона — всплеск наиболее короткий в мягком диапазоне 10-70 кэВ, а наиболее долгий — в среднем 70-200 кэВ, что нетипично для гамма-всплесков, длительность которых обычно падает с ростом энергии степенным образом (Фенимор и др., 1995). Вероятно, кривая блеска состоит из двух эпизодов излучения: главного (временной интервал от -0.02 до 0.01 с) и второстепенного (интервал от 0.01 до 0.05 с), различающихся формой энергетического спектра (см. следующий раздел).

Минимальный масштаб переменности, определенный как минимальный временной интервал,

<sup>&</sup>lt;sup>1</sup> Это также противоречит выводу, сделанному при анализе кривых блеска, полученных телескопом IBIS/ISGRI обсерватории INTEGRAL, о том, что в самом мягком канале профиль всплеска становится шире, чем в жестких каналах. Отметим однако, что чувствительность *Fermi/GBM* в таких низких энергиях заметно проседает, фоновая скорость счета возрастает.

Модель	$\chi^2/N^a$	A	$\alpha_{ m g}$	$kT_{bb}, E_c^{{\scriptscriptstyle \mathrm{I}}},$ кэВ	Поток $^{\rm e}$ , $10^{-6}$ эрг ${ m c}^{-1}$ см $^{-2}$
PL	30.6/29	$1.97 \pm 0.26^{\text{B}}$	$0.46 \pm 0.03$	_	$1.72 \pm 0.23$
BBR	31.1/29	$22.2 \pm 1.48^{\circ}$		$91 \pm 5$	$1.99 \pm 0.27$
CPL	29.8/28	$2.91 \pm 0.38^{\text{B}}$	$-0.07 \pm 0.03$	328	$1.92 \pm 0.24$
BBR	26.6/27	$17.6 \pm 1.3^{\circ}$	_	$106 \pm 7$	$1.92 \pm 0.29$
+					
BBR		$170 \pm 35^{\circ}$	_	$14.1 \pm 1.6$	$0.09 \pm 0.04$
CPL	24.9/26	4.91 ± 0.77 <sup>в</sup>	$-2.50 \pm 0.03$	$78 \pm 5$	$2.01 \pm 0.31$
+					
BBR		$123 \pm 19^{\circ}$	_	$15.2 \pm 1.3$	$0.13 \pm 0.04$

Таблица 1. Результаты анализа интегрального спектра GRB 231115A в диапазоне 20-400 кэВ по данным телескопа IBIS/ISGRI

- $^{a}$  Минимальное значение  $\chi^{2}$  и число степеней свободы N.
- $^{6}$  Фотонный индекс степенной компоненты  $I_{100}~(E/100~{
  m kpB})^{-lpha}$ .
- $^{\rm B}$  Нормировка этой компоненты  $I_{100}$  на 100 кэВ [ $10^{-2}$  фот с $^{-1}$  см $^{-2}$  кэВ $^{-1}$ ].  $^{\rm F}$  Радиус излучающей поверхности  $R_{bb}$  [км] на расстоянии  $D_L=3.5$  Мпк.
- $^{\mathrm{H}}$  Температура  $kT_{bb}$  или энергия экспоненциального завала  $E_{c}$ .

в течение которого энергетический поток от источника изменяется более чем на 3 стандартных отклонения по сравнению с соседними интервалами, наблюдается в середине основного эпизода (момент времени T = -0.006 c) и составляет ~2 мс. Однако это не может быть индикатором вспышки именно SGR, так как такого рода быстрая переменность наблюдается также и у многих гамма-всплесков (Митрофанов и др., 1990).

Галактические гигантские вспышки SGRs также характеризуются длительным (до нескольких сотен секунд) продленным излучением с детектируемым периодическим сигналом. Относительный вклад продленного излучения в общую энергетику явления варьируется в широких пределах от 1 до 30% (Мазец и др., 2008). В данных монитора Fermi/ GBM для события GRB 231115A мы не обнаружили значимого продленного излучения как в широком энергетическом диапазоне 10-850 кэВ, так и в более узких энергетических каналах 10-70, 70-200 и 200-850 кэВ. Верхний предел (на уровне трех стандартных отклонений) на интегральный по времени поток от продленного излучения на шкале 50 с в диапазоне 10-850 кэВ превышает поток от GRB 231115A почти в три раза. Таким образом, отсутствие регистрации продленного излучения не может служить причиной для отказа от ассоциации GRB 231115A с гигантской вспышкой ранее неизвестного SGR.

# Спектральная эволюция

Космические гамма-всплески характеризуются спектральной эволюцией, которая может проявляться как относительное смещение (задержка)

профилей кривых блеска в разных диапазонах энергии. Задержка считается положительной, если жесткое излучение "опережает" мягкое, и определяется либо с помощью кросс-корреляционного анализа кривых блеска (Минаев и др., 2014), либо как смещение положения максимума кривой блеска (Хаккила, Прис, 2011). Именно положительной задержкой характеризуются элементарные структуры (импульсы) кривой блеска гамма-всплесков, в то время как отрицательная задержка, наблюдающаяся в некоторых случаях, может быть следствием эффекта суперпозиции и возникать при анализе всплесков со сложной, многоимпульсной структурой кривой блеска, поскольку отдельные импульсы обладают уникальными свойствами (Минаев и др., 2014).

В работе для исследования спектральной эволюции мы использовали кросс-корреляционный метод, описанный в работе (Минаев и др., 2014). Для этого сформированы кривые блеска с временным разрешением 1 мс в семи различных энергетических каналах, охватывающих энергетический диапазон 10-1000 кэВ. Кривые блеска по данным детекторов NaI 06 - NaI 09, NaI 11 суммировались, а кривая блеска, построенная по данным детектора BGO 01, исследовалась отдельно. В качестве опорной кривой блеска, относительно которой проводилась кросс-корреляция кривых блеска в остальных каналах, выбрана кривая в канале 120-220 кэВ, сформированная по данным детекторов NaI 06 – NaI 09, NaI 11.

Кросс-корреляционный анализ не выявил значимой спектральной эволюции, в отличие от GRB

 $<sup>^{</sup>e}$  — Поток излучения в диапазоне 20—400 кэВ.

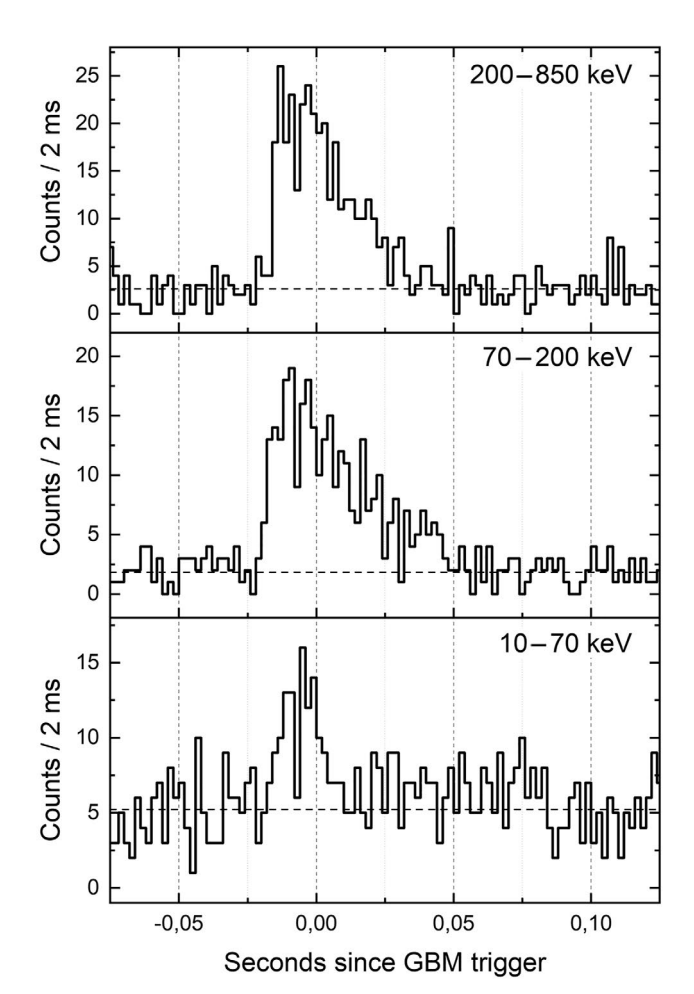


Рис. 7. Кривые блеска GRB 231115A по данным эксперимента *Fermi*/GBM с временным разрешением 2 мс, в диапазоне 200–850 кэВ — по данным детекторов NaI\_06 — NaI\_09, NaI\_11, BGO\_01, в диапазонах 10–70 и 70–200 кэВ — по данным детекторов NaI\_06 — NaI\_09, NaI\_11. По горизонтальной оси отложено время относительно триггера *Fermi*/GBM в секундах, по вертикальной — количество отсчетов в бине. Границы энергетических каналов указаны на легенде. Штриховой линией показан уровень фона.

200415А, также, по-видимому, гигантской вспышки магнитара (Минаев, Позаненко, 2020б). На первый взгляд полученные результаты противоречат поведению кривых блеска на рис. 7, из которого явно следует эволюция энергетического спектра со временем — профиль импульса на кривой блеска в мягком диапазоне 10—70 кэВ заметно уже и заканчивается раньше импульсов в среднем (70—200 кэВ) и жестком (200—850 кэВ) диапазонах, что подразумевает отрицательную спектральную задержку. Однако кросс-корреляционный анализ выявляет главным образом смещение кривых блеска в области их максимума, которое в данном случае отсутствует.

Отсутствие значимой спектральной задержки вероятно связано со сложной структурой кривой блеска и эффектом суперпозиции (Минаев и др., 2014).

Мы также исследовали эволюцию жесткости излучения всплеска от времени по данным Fermi/ GBM, определив жесткость излучения как отношение потоков, выраженных в инструментальных отсчетах за вычетом фона, в энергетических каналах 200-850 кэВ и 30-200 кэВ. На рис. 8 показана соответствующая зависимость спектральной жесткости от времени. Зависимость в целом повторяет профиль кривой блеска всплеска — быстро нарастает, какое-то время в течение основного яркого эпизода остается высокой, и затем падает. Рисунок подтверждает эволюцию жесткости спектра, найденную по данным телескопа IBIS/ISGRI обсерватории INTEGRAL (рис. 2, отметим, что при расчете жесткости здесь использовались немного отличные энергетические каналы). Подобное поведение иногда наблюдается у гамма-всплесков со сложной структурой кривой блеска (Гупта и др., 2021), поэтому исходя из вида этой зависимости однозначно классифицировать данное событие как гигантскую вспышку магнитара нельзя.

#### Спектр излучения

Для восстановления и аппроксимации спектров излучения в данной работе использовался программный пакет RMfit v4.3.2, специально разработанный для анализа данных монитора GBM обсерватории Fermi (fermi.gsfc.nasa.gov/ssc/data/analysis/rmfit/). Методика спектрального анализа аналогична предложенной Грубером и др. (2014). Энергетические спектры анализировались по данным детекторов NaI\_06, NaI\_07, NaI\_11 и BGO\_01 эксперимента Fermi/GBM.

Мы исследовали энергетический спектр  $vF_v$  GRB 231115A в трех временных интервалах: интервал (-0.02 с, 0.05 с) соответствует интегральному спектру, (-0.02 с, 0.00 с) — главному эпизоду излучения, (0.00 с, 0.05 с) — второстепенному. Энергетический спектр во всех исследованных временных интервалах неудовлетворительно описывается тепловой моделью чернотельного излучения bbody (BB), оптимальная модель — степенная с экспоненциальным завалом cutoffpl (CPL, см. уравнение (1)).

Хотя чуть лучшее согласие с данными дает комбинация двух тепловых моделей (2 ВВ), наблюдаемая разница в значении статистического функционала CSTAT не позволяет отвергнуть модель CPL, имеющую на одну степень свободы меньше. Результаты спектрального анализа с использованием моделей ВВ, СРL, 2 ВВ представлены в табл. 2.

Энергетический спектр излучения  $\nu F_{\nu}$  во всех случаях имеет значение фотонного индекса  $\alpha \simeq -0.3$  с энергией спектрального пика

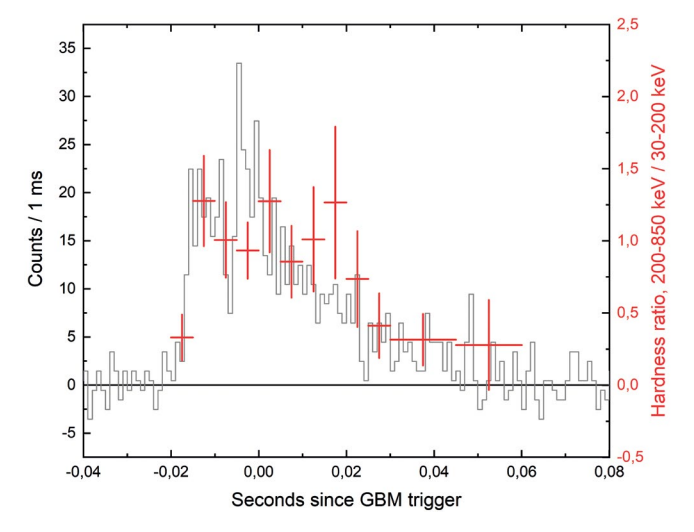
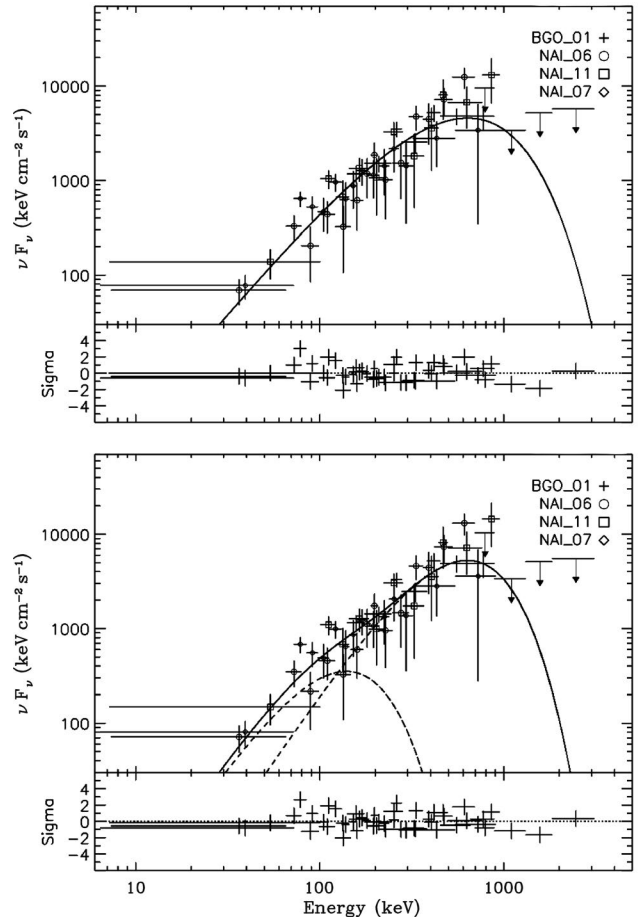


Рис 8. Эволюция жесткости излучения GRB 231115A по данным Fermi/GBM со временем (красные точки). Жесткость определяется как отношение числа отсчетов, зарегистрированных в диапазоне 200—850 кэВ, к отсчетам в диапазоне 30—200 кэВ. Для сравнения черной линией показана кривая блеска GRB 231115A с временным разрешением 1 мс в диапазоне 30—850 кэВ (по данным детекторов NaI\_06 — NaI\_09, NaI\_11, BGO\_01 Fermi/GBM). По горизонтальной оси — время относительно триггера GBM/Fermi в секундах, по вертикальной левой оси — количество отсчетов в бине кривой блеска, по вертикальной правой оси — значение спектральной жесткости.

 $E_p \simeq 630$  кэВ (табл. 2). Данное значение  $\alpha$  нетипично для коротких гамма-всплесков, которые в среднем характеризуются более быстро спадающим спектром со значением  $\alpha \simeq 0.7$  (см., например, Берджес и др., 2019). Подобное значение спектрального индекса наблюдалось ранее и у других гигантских вспышек SGR (Минаев, Позаненко, 2020б). На рис. 9 в качестве примера представлен интегральный спектр излучения всплеска во временном интервале (-0.02 с, 0.05 с), аппроксимированный с помощью моделей CPL и 2 BB.

Спектральный анализ двух эпизодов GRB 231115A, выделенных при анализе кривых блеска, не выявил существенных различий в параметрах спектральных моделей. В рамках CPL модели фотонный индекс  $\alpha$  второстепенного эпизода незначительно больше при неизменном положении экспоненциального завала ( $E_p \simeq 630~{\rm kpB}$ ), что может объяснять относительный недостаток мягкого излучения во второстепенном эпизоде.

Мы оценили изотропный эквивалент полной энергии  $E_{iso}$  в предположении ассоциации источника с галактикой M82 ( $D_L = 3.5$  Мпк) в энергетическом диапазоне  $1-10\,000$  кэВ, проведя экстраполяцию модельного спектра CPL,



**Рис. 9.** Спектр излучения  $vF_v$  всплеска GRB 231115A по данным *Fermi/GBM* во временном интервале (-0.02 с, 0.05 с) относительно времени триггера: вверху — аппроксимированный степенной моделью с экспоненциальным завалом (CPL), внизу — аппроксимированный суммой двух моделей чернотельного излучения (2 ВВ). На верхних панелях — спектр, полученный по данным детекторов NaI\_06, NaI\_07, NaI\_11, BGO\_01 эксперимента *Fermi/GBM*. На нижних панелях — отклонение спектральной модели от экспериментальных данных, выраженное в единицах стандартных отклонений.

полученного в диапазоне 7–3000 кэВ. Он составляет  $E_{iso} = (1.28 \pm 0.14) \times 10^{45}$  эрг. Аналогичным образом вычисленная пиковая светимость во временном интервале (-0.02 с, 0.0 с) составляет  $L_{iso} = (3.09 \pm 0.44) \times 10^{46}$  эрг с $^{-1}$ .

Для тепловой модели чернотельного излучения (ВВ) можно оценить радиус излучающей области, используя значение пиковой светимости  $L_{iso}=3.09\times10^{46}$  эрг с $^{-1}$  и закон Стефана—Больцмана для излучения с температурой  $kT_{bb}=132$  кэВ. Полученный радиус  $R_{bb}\simeq27$  км по порядку величины соответствует размерам магнитосферы нейтронной звезды.

ΔТ, <sup>а</sup> мс	Модель	CSTAT/dof	$A, cm^{-2} c^{-1}                                    $	$lpha_{ m 6}$	$E_p$ , $kT_{bb}$ в кэ ${ m B}$	Поток, г 10 <sup>-7</sup> эрг см <sup>-2</sup>
(-20, 50)	ВВ	485/412	$(3.33^{+0.67}_{-0.58})\times10^{-6}$	_	135 ± 8	$7.50 \pm 0.50$
	CPL	471/411	$(6.27^{+0.72}_{-0.65})\times10^{-2}$	$-0.34 \pm 0.20$	$637^{+71}_{-58}$	$7.25 \pm 0.46$
	2BB	466/410	$(4.6^{+3.9}_{-2.1}) \times 10^{-5}$	_	$36^{+10}_{-7}$	$7.55 \pm 0.50$
			$(1.62^{+0.55}_{-0.46}) \times 10^{-6}$	_	$162^{+16}_{-13}$	
(-20, 0)	BB	435/412	$(6.3^{+1.7}_{-1.3}) \times 10^{-6}$	_	$132 \pm 10$	$3.71 \pm 0.32$
	CPL	423/411	$(1.18^{+0.17}_{-0.15}) \times 10^{-1}$	$-0.20 \pm 0.23$	$631^{+92}_{-72}$	$3.50 \pm 0.30$
	2BB	419/410	$(1.56^{+1.80}_{-0.83}) \times 10^{-4}$	_	$29^{+10}_{-7}$	$3.72 \pm 0.32$
			$(3.2^{+1.3}_{-1.0}) \times 10^{-4}$	_	$156^{+18}_{-15}$	
(0, 50)	BB	438/412	$(2.22^{+0.71}_{-0.55}) \times 10^{-4}$	_	$137 \pm 13$	$3.82 \pm 0.38$
	CPL	433/411	$(4.17^{+0.78}_{-0.67})\times 10^{-2}$	$-0.47 \pm 0.31$	635 +114	$3.74 \pm 0.35$
	2BB	432/410	$(1.7^{+2.7}_{-1.1}) \times 10^{-5}$	_	$44^{+22}_{-14}$	$3.85 \pm 0.38$
			$(9.9^{+5.9}_{-4.9}) \times 10^{-7}$	_	$168^{+32}_{-22}$	

**Таблица 2.** Результаты спектрального анализа излучения GRB 231115A по данным *Fermi/GBM* 

# ПОПУЛЯЦИОННЫЙ АНАЛИЗ ВСПЛЕСКА

Интересно сравнить полученные значения длительности и энергетики всплеска GRB 231115A с параметрами других транзиентных гамма-явлений.

Корреляция 
$$E_{p,i} - E_{iso}$$

В работе (Минаев, Позаненко, 2020а) было показано, что корреляция между изотропным эквивалентом полной энергии, излученной в гамма-диапазоне,  $E_{iso}$  и положением экстремума в энергетическом спектре  $\nu F_{\nu}$  в системе источника всплеска,  $E_{p,i}$  (формула (2), Голенецкий и др., 1983; Амати и др., 2002), может быть эффективно использована для классификации гамма-всплесков.

Этому способствует тот наблюдательный факт, что данная корреляция для различных типов гамма-всплесков описывается степенным законом с единым показателем степени  $a \simeq 0.4$ , при этом область корреляции гамма-всплесков типа I находится выше области корреляции всплесков типа II. В дальнейшем, в работе (Минаев, Позаненко, 2020б) были дополнительно рассмотрены известные гигантские вспышки источников SGR,

и оказалось, что они также подчиняются аналогичной корреляции с показателем степени  $a \simeq 0.3$  и занимают изолированное положение на диаграмме  $E_{p,i} - E_{iso}$ . Это дало возможность включить их в систему классификации, предложенную Минаевым, Позаненко (2020а).

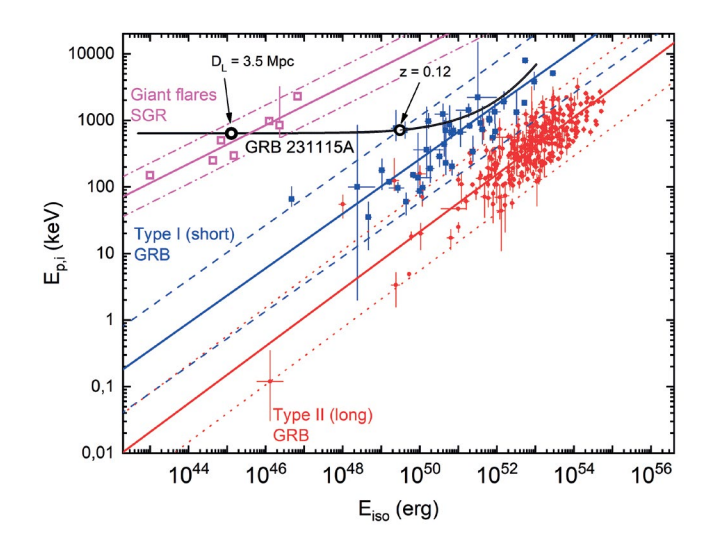
$$\lg\left(\frac{E_{p,i}}{100 \text{ K} \ni B}\right) = a \lg\left(\frac{E_{iso}}{10^{51} \text{ spr}}\right) + b. \tag{2}$$

Для исследования положения GRB 231115A на диаграмме  $E_{p,i} - E_{iso}$  использовалась выборка из 316 гамма-всплесков и 7 гигантских вспышек магнитаров, а также результаты анализа корреляции  $E_{n,i}$  —  $E_{iso}$  для этой выборки, опубликованные в работах (Минаев, Позаненко, 2020а, б, 2021). Соответствующая диаграмма  $E_{p,i}-E_{iso}$  представлена на рис. 10. Очевидно, что положение GRB 231115A на диаграмме позволяет однозначно классифицировать его как гигантскую вспышку магнитара. На рисунке также показана траектория источника на диаграмме в зависимости от его красного смещения. Событие может быть классифицировано как короткий гамма-всплеск, начиная с красного смещения z = 0.12(точка пересечения траектории с границей области корреляции коротких гамма-всплесков).

<sup>&</sup>lt;sup>а</sup> — Временной интервал относительно триггера *Fermi*/GBM.

 $<sup>^{6}</sup>$  — Фотонный индекс жесткой степенной компоненты.  $^{8}$  — Энергия спектрального пика  $E_p = E_c$  (2—lpha), где  $E_c$  — энергия экспоненциального завала из уравнения (1) или  $kT_{bb}$  для моделей BB и 2BB.

Интегральный по времени поток излучения в диапазоне 10–1000 кэВ.



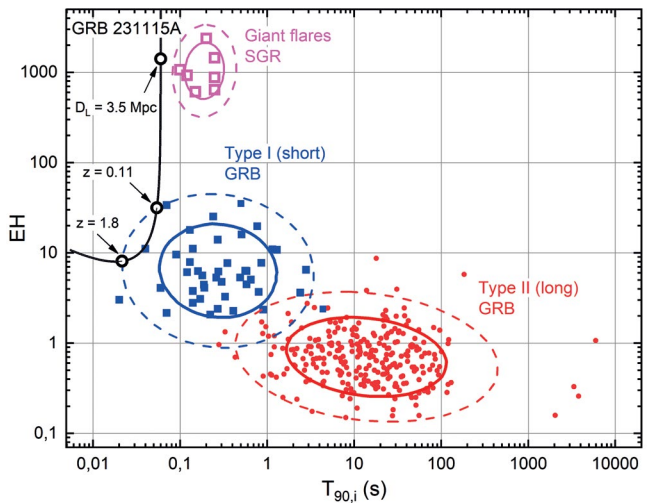
**Рис. 10.** Корреляция  $E_{p,i}-E_{iso}$  для гамма-всплесков типа I (синие квадраты), типа II (красные кружки) и гигантских вспышек SGR (розовые незаполненные квадраты) с соответствующими результатами аппроксимации, в том числе  $2\sigma_{cor}$  областями корреляции, показанных соответствующими цветами. Черной кривой показана траектория GRB 231115A в зависимости от красного смещения, положение для  $D_L=3.5~{\rm Mnk}$  и  $z=0.12~{\rm otmeveho}$  незаполненными черными кружками.

# Диаграмма $T_{90i} - EH$

Для решения задачи классификации гамма-всплесков в работе (Минаев, Позаненко, 2020а) был предложен еще один метод, использующий помимо особенностей корреляции  $E_{p,i}-E_{iso}$  бимодальность распределения гамма-всплесков по длительности в системе отсчета источника  $T_{90,i}$ . Для этой цели был введен параметр EH (формула (3)), характеризующий положение гамма-всплеска на диаграмме  $E_{p,i}-E_{iso}$ :

$$EH = \frac{\left(E_{p,i} / 100 \text{ kpB}\right)}{\left(E_{iso} / 10^{51} \text{ ppr}\right)^{0.4}}.$$
 (3)

На рис. 11 представлена диаграмма  $T_{90,i}-EH$  для 316 гамма-всплесков и 7 гигантских вспышек магнитаров из работ (Минаев, Позаненко, 2020а, б, 2021). Гамма-всплески типа I по сравнению с гамма-всплесками типа II обладают большей жесткостью спектра  $E_{p,i}$  при меньшем значении полной энергии  $E_{iso}$  и, как следствие, большим значением параметра EH, и при этом имеют меньшую длительность  $T_{90,i}$ . Гигантские вспышки SGR имеют ту же длительность, что и гамма-всплески типа I, но гораздо меньшую энергетику при сходной жесткости спектра, что проявляется в большом значении



**Рис. 11.** Диаграмма  $T_{90,i}-EH$  для гамма-всплесков типа I (синие квадраты), типа II (красные кружки) и гигантских вспышек SGR (розовые незаполненные квадраты) с соответствующими результатами кластерного анализа,  $1\sigma_{cor}$  и  $2\sigma_{cor}$  области кластера показаны жирными сплошными и тонкими штриховыми кривыми соответствующих цветов. Черной кривой показана траектория GRB 231115A в зависимости от красного смещения. Положение для  $D_L = 3.5$  Мпк, а также положения на траектории для ассоциации источника с короткими гамма-всплесками z = 0.11 и z = 1.8 отмечены незаполненными черными кружками.

параметра EH. Таким образом, диаграмму  $T_{90,i}$  — EH также можно использовать не только для классификации гамма-всплесков, но и для отделения гигантских вспышек SGR от гамма-всплесков типа I. Всплеск GRB 231115A однозначно классифицируется как гигантская вспышка SGR, находясь в непосредственной близости от соответствующего кластера событий (параметр EH = 1450). На рисунке также показана траектория на диаграмме в зависимости от красного смещения источника. Событие может быть классифицировано как короткий гамма-всплеск в интервале красных смещений от z = 0.11 до z = 1.8 (точки пересечения траектории с границами области кластера коротких гамма-всплесков).

# НАБЛЮДЕНИЯ В ОПТИЧЕСКОМ ДИАПАЗОНЕ

Среди оптических наблюдательных сетей, первым на оповещение о регистрации GRB 231115A от *Fermi/*GBM (Далесси и др., 2023) откликнулся обзорный телескоп GROWTH-India, который начал наблюдения области локализации с 2023-11-15 16<sup>h</sup>47<sup>m</sup>58<sup>s</sup>·140 UT. Кумар и др. (2023а) сообщили об обнаружении кандидата AT 2023хуј в оптическое послесвечение GRB 231115A в крыле галактики

Таблица 3. Телескопы GRB-IKI-FuN, использованные в наблюдениях GRB 231115A

Обсер- ватория	Телескоп	D, M <sup>a</sup>	FoV, <sup>6</sup>	Местона- хождение
АбАО/ GENAO	AS-32	0.7	44.'4 × 44.'4	Абастумани, Грузия
МСОТ- Китаб	RC-36	0.36	43.'7 × 43.'7	Китаб, Узбекистан

а – Диаметр зеркала телескопа.

M82 через 1.19 часа после триггера *Fermi*/GMB. На момент обнаружения источник имел координаты R.A. =  $09^{h}56^{m}00.2 \pm 0.6$ , Decl. =  $69^{\circ}40'29.2 \pm 0.6$ (эпоха J2000) и блеском ~19.2 mag в фотометрической полосе r'. Независимо от GROWTH-India, оптические наблюдения с целью поиска оптического компонента GRB 231115A проводились и многими другими инструментами (см. раздел Наблюдения). Однако, источник, объявленный в циркуляре Кумара и др. (2023а), так и не был найден. Позднее Кумар и др. (2023б) сообщили об ошибке, допущенной в их предыдущем циркуляре (Кумар и др. 2023а). Ошибка возникла при вычитании изображения-шаблона родительской галактики, полученной обзором PanSTARRS DR1 (Чамберс и др., 2016), на котором присутствуют артефакты.

Две группы исследователей обнаружили несколько кандидатов в транзиентные источники в области локализации всплеска системой IBAS обсерватории INTEGRAL. Так, Перли и др. (2023) обнаружили красный источник с координатами  $R.A. = 09^{h}55^{m}30^{s}7$ , Decl. =  $+69^{\circ}40'23''28$ , a XV и др. (2023) — еще один красный источник W231115b с координатами R.A. =  $09^h55^m88^s1$ , Decl. =  $69^\circ41'28''5$ , который имел видимый блеск  $r = 21.26 \pm 0.08$ . Ху и др. (2023) обнаружили также источник, в последствии найденный Перли и др. (2023), который был обозначен как W231115a. Видимая звездная величина данного источника составила  $r = 20.54 \pm$  $\pm 0.04$ . По-видимому это источники в диске галактики M82, но не связанные с GRB 231115A. Можно указать несколько причин, почему эти источники не были обнаружены ранее: значительный градиент фонового излучения галактики М82, большая плотность источников в диске галактики, значительное поглощение оптического излучения пылью, а также недостаточная предельная звездная величина инструментов наблюдения.

В свою очередь, мы также провели наблюдения, используя сеть телескопов GRB-IKI-FuN (IKI Gamma-Ray Burst Follow-up Network, Вольнова и др., 2021) с целью поиска возможного оптического компонента GRB 231115A. Список

используемых телескопов и их основные параметры представлены в табл. 3.

Наблюдения телескопом AS-32/AбAO производились в фотометрической полосе R, в то время как наблюдения на RC-36/MCOT-Китаб выполнены в чистом свете (без фильтров)<sup>2</sup>. Журнал оптических наблюдений представлен в табл. 4.

Данные наблюдений (изображения) обработаны однородным образом с помощью элементов конвейера по поиску оптических транзиентов АРЕХ v2023.11 (Панков и др., 2022). Согласно методике, описанной Панковым и др. (2022), изображения прошли первичный контроль, калибровку, сложение, астрометрию и дифференциальную фотометрию. Поиск переменных источников осуществлен при помощи вычитания изображения-шаблона родительской галактики М82, снятой на том же инструменте, но в более позднюю эпоху. С этой целью был разработан специальный элемент конвейера APEX apex subtract. Из-за больших угловых размеров М82 на астрономических изображениях (порядка 4×4 угл. мин), вычитание шаблона было необходимой процедурой, чтобы убрать значительный градиент фона галактики М82.

После вычитания мы не обнаружили достоверных кандидатов в оптическое послесвечение GRB 231115A в области локализации, полученной в эксперименте IBIS/ISGRI INTEGRAL (рис. 12). Также не были обнаружены источники из циркуляров GCN Перли и др. (2023) и Ху и др. (2023) — из-за недостаточной проницающей способности, достигнутой в наших наблюдениях.

На рис. 13 красными треугольниками показаны верхние пределы на возможный оптический компонент GRB 231115A, полученные как в наших наблюдениях (отмечены стрелками), так и другими научными группами (табл. 4). Кроме того, на рис. 13 представлены результаты оптических наблюдений других коротких гамма-всплесков с известным красным смещением по данным Фонга и др. (2015) и кривая блеска килоновой GRB 170817A по данным Виллара и др. (2017), приведенные к фотометрическому расстоянию  $D_L = 3.5 \ \mathrm{Mnk}$ .

Наиболее глубокие верхние пределы на оптическое послесвечение GRB 231115A получены через 10 часов после триггера (22 зв.вел. в фильтре r). Оптические послесвечения других коротких гамма-всплесков (в том числе от килоновой GRB 170817A), наблюдаемые с расстояния  $D_L$  = 3.5 Мпк,

 $<sup>^{6}</sup>$  — Поле зрения телескопа.

<sup>&</sup>lt;sup>2</sup> Добавлено в корректуре: После сдачи статьи в печать, 8 и 9 декабря 2023 г. (спустя ~21.5 сут после всплеска) были выполнены наблюдения галактики М 82 в спокойном состоянии (когда возможный оптический компонент уже должен был затухнуть) на телескопах в АбАО и Китабе соответственно. Это позволило более точно вычесть вклад галактики М 82 из изображений, полученных нами сразу после всплеска (см. ниже).

Предел  $\Delta T^{6}$ , c  $\underline{t} - T_0^{a}$ , сут  $f_{\rm M}$  мкЯн $^{\rm r}$ Фильтр Обсерватория Телескоп **GCN** зв. вел.<sup>в</sup> -1.15581020.47 23.6 **ZTF** Palomar 1.2m 35048 r -0.45291727.9  $L^{\mu}$ ORM/SSO **GOTO** 35050  $12 \times 60$ 20.1 0.054688 92.5 МАСТЕР-Тунка 0.4m35046 180 18.8 cleare 0.075023 600 19.5 48.6 Rc MITSuME Akeno 0.5m 35057 1200 0.087118 19.8 36.8 Rc **MITSuME** Akeno 0.5m 35057 0.111250 2400 20.2 25.5 Rc MITSuME Akeno 0.5m 35057 35057 19.9 0.144980 7380 33.6 Rc **MITSuME** Okayama 0.5m Эта 0.149271  $19 \times 30 + 123 \times 60$ 18.6<sup>ж</sup> 111 cleare ISON-Kitab RC-36 работа WO 0.418507 7200 22.0 5.75 Fraunhofer 2m 35092 0.500000 22.0 5.75 r **ORM TNG** 35077 Эта 0.447095  $89 \times 60$ 19.3<sup>ж</sup> 58.4 R AbAO AS-32 работа 0.500000  $2 \times 195$ 21.6 8.32 **ORM** Liverpool 2m 35067 r

**Таблица 4.** Журнал оптических наблюдений гамма-всплеска GRB 231115A

были бы ярче в этот момент времени не менее, чем в 2500 раз (их блеск был бы на уровне 13.5 зв. вел.). Таким образом, полученные верхние пределы на оптический компонент надежно исключают интерпретацию события GRB 231115А как короткого гамма-всплеска. С другой стороны, оптическое излучение могло бы испытать очень сильное поглощение на луче зрения, если источник всплеска находится в дальней от наблюдателя части диска родительской галактики. К сожалению, точности локализации источника недостаточно, чтобы исключить этот вариант.

### ЗАКЛЮЧЕНИЕ

Выполнен детальный анализ спектрально-временных свойств короткого всплеска GRB 231115A в жестком рентгеновском и гамма-диапазоне по данным космических обсерваторий INTEGRAL и Fermi с целью установления природы всплеска. Проведены также ранние наблюдения в оптическом диапазоне телескопами сети GRB-IKI-FuN в попытке найти послесвечение всплеска или ассоциированный с всплеском оптический источник.

В частности, получены следующие результаты:

1. Подтверждена и уточнена ранняя (выполненная в рамках Quick Look анализа автоматической

системой IBAS) локализация всплеска (R.A. =  $99^{h}55^{m}59^{s}28$ , Decl. =  $+69^{\circ}41'40''$  эпоха 2000.0, неопределенность лучше 1'5), также как и его ассоциация с близкой галактикой Сигара (М 82), расположенной на расстоянии  $D_L$  = 3.5 Мпк. Это позволяет рассматривать как в высшей степени вероятную версию магнитарного происхождения всплеска, т.е. того, что 15 ноября 2023 г. в этой галактике произошла гигантская вспышка ранее неизвестного источника мягких повторных всплесков (SGR). Если версия подтвердится, то это будет первая хорошо локализованная и надежно отождествленная с известной галактикой гигантская вспышка внегалактического SGR.

2. Жесткие рентгеновские и гамма-кривые блеска GRB 231115A имеют традиционный профиль FRED (быстрый подъем — экспоненциальный спад) во всех приборах и во всех диапазонах, за исключением самого мягкого (25–80 кэВ) диапазона телескопа IBIS/ISGRI обсерватории INTEGRAL, в котором профиль всплеска имел широкую вершину с  $\Delta T \sim 60$  мс. Длительное (десятки секунд) продленное излучение, характерное для гигантских вспышек магнетаров, у GRB 231115A обнаружено не было. В то же время полученный верхний предел на интегральный по времени поток продленного излучения не исключает ассоциации всплеска с гигантской вспышкой магнитара.

<sup>&</sup>lt;sup>а</sup> — Время начала экспозиции относительно триггера *Fermi*/GBM.

 $<sup>^{6}</sup>$  — Длительность экспозиции.

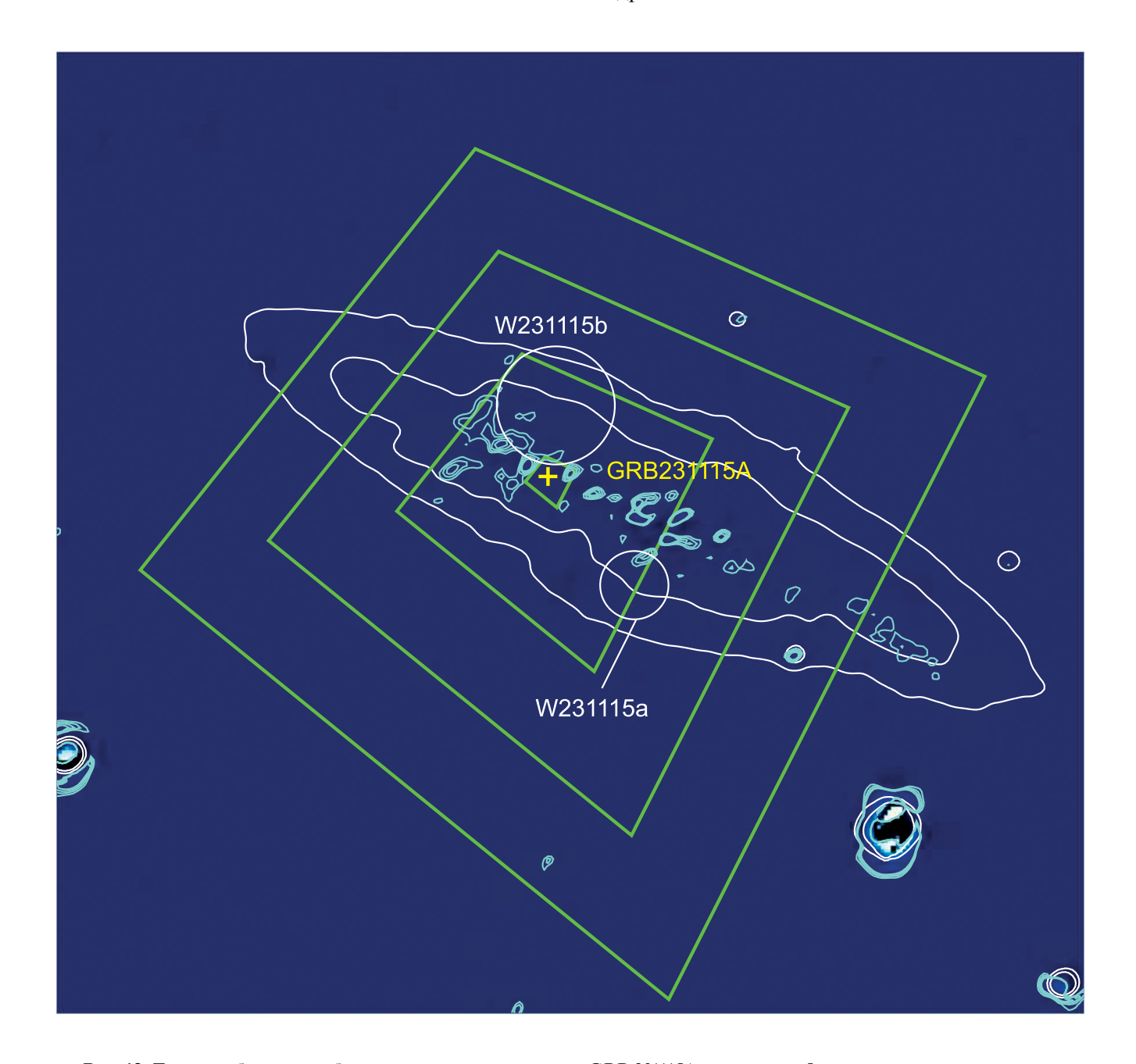
<sup>&</sup>lt;sup>в</sup> — Верхний предел на уровне 3 стандартных отклонения.

г – Верхний предел на спектральную плотность потока на уровне 3 стандартных отклонений.

<sup>&</sup>lt;sup>д</sup> – GOTO широкополосный L фильтр (4000–7000 Å).

<sup>&</sup>lt;sup>е</sup> — Чистый свет (без фильтра)

<sup>\* —</sup> Не исправлено на поглощение в Галактике E(B-V) = 0.1326\$ (Шлафли, Финкбайнер, 2011).



**Рис. 12.** То же изображение области локализации всплеска GRB 231115A, что на рис. 5, но после вычитания вклада галактики M 82 в спокойном состоянии (измеренного на телескопе в AS-32 8 декабря 2023 г., когда возможный оптический компонент всплеска уже должен был затухнуть). Как и ранее, зеленые ромбы показывают контуры локализации всплеска в рентгеновском диапазоне третий контур от центра соответствует уровню достоверности 90% (неопределенность 1.5). Белые кружки — два предложенных оптических кандидата (Ху и др., 2023, см. текст). Белыми тонкими контурами обозначен профиль галактики M 81. Голубыми контурами — то, что осталось на месте галактики после вычитания (добавлено в корректуре).

3. Кросс-корреляционный анализ кривых блеска в разных энергетических диапазонах по данным монитора *Fermi*/GBM не выявил значимой спектральной задержки. Такое поведение встречается как у коротких гамма-всплесков, так и у гигантских вспышек магнитаров. В то же время, обнаружена заметная эволюция жесткости излучения

(и по данным Fermi/GBM, и по данным телескопа IBIS/ISGRI обсерватории INTEGRAL). Жесткость была в 2—3 раза выше (и даже росла согласно IBIS/ISGRI) в течение первых ~40 мс всплеска, а затем быстро уменьшилась и далее оставалась на примерно одном уровне в течение последующих ~80—100 мс.

4. Спектр излучения всплеска содержал две компоненты: жесткую, которая успешно описывалась характерной для гамма-всплесков и магнитаров степенной моделью с экспоненциальным завалом на высоких энергиях (CPL), и мягкую, которую мы аппроксимировали спектром чернотельной фотосферы с температурой  $kT_{bb} \sim 15 \text{ кэB}$ . На рис. 14 показан широкополосный (3–1500 кэВ) спектр излучения GRB 231115A, реконструированный на основе данных наблюдений телескопов IBIS/ISGRI и JEM-X обсерватории INTEGRAL и монитора гамма-всплесков GBM (его детекторов BGO\ 01 и NaI\ 06) обсерватории Fermi. В табл. 5 приведены результаты его аппроксимации спектральными моделями 2 BBL и BBL+CPL (последняя модель показана на рисунке сплошной кривой, а ее компоненты — штриховой и пунктирной линией). Из рисунка следует, что модель успешно описывает измеренный спектр излучения вспле-

Представление спектра всплеска в виде  $vF_v(v)$  явно показывает, что основная энергия его излучения содержится в фотонах с  $hv \sim 500-600$  кэВ. Важно, что фотонный индекс жесткой компоненты излучения имел пекулярное значение  $\alpha \simeq -1.08$ , обеспечивающее быстрый рост спектральный плотности излучения  $F_v \sim E^{2.08}$  с энергией фотонов. Именно благодаря такому почти релей-джинсовскому спектральному индексу жесткое излучение данного всплеска успешно описывалось чернотельным спектром. Столь жесткие степенные "хвосты" в спектрах излучения более характерны для гигантских вспышек магнитаров, чем для коротких гамма-всплесков.

- 5. Комбинация чернотельных спектров, которая позволяет успешно аппроксимировать спектр излучения GRB 231115A, может возникать в гипотетических моделях испарения первичных черных дыр (см., например, Феган и др., 1978) или падения первичной черной дыры ограниченной массы на сверхмассивную черную дыру (Барко и др., 2021). В этих моделях могут генерироваться очень короткие жесткие гамма-всплески, по-видимому, без послесвечения в рентгеновском и оптическом диапзонах. Однако, полная энергия, излученная в гамма-диапазоне, в этих моделях оказывается существенно меньшей энергии, измеренной от GRB 231115A, что не позволило бы наблюдать такую вспышку в галактике M82.
- 6. Полученные в работе верхние пределы на поток оптического послесвечения всплеска через 3.6 и 10.7 часов после этого события находятся на несколько порядков величины ниже уровня излучения, которого можно было бы ожидать от коротких гамма-всплесков, связанных со слиянием нейтронных звезд (Канн и др., 2011; Виллар и др., 2017; Пандей и др., 2019). Наши пределы согласуются с результатами оптических наблюдений на других

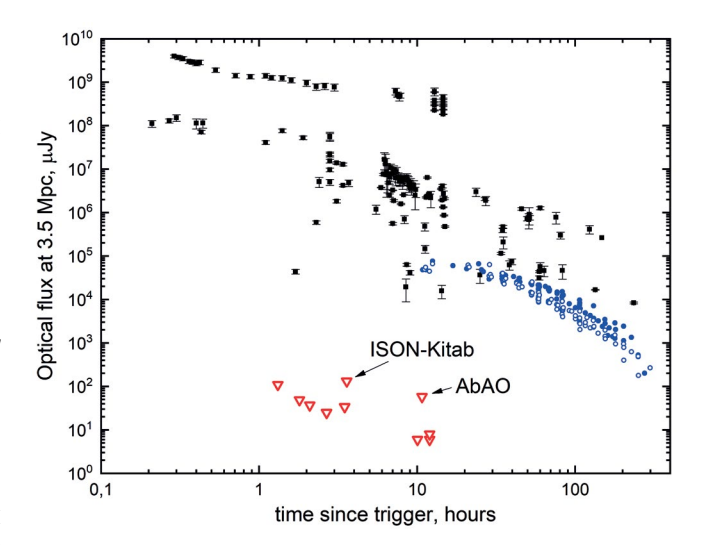
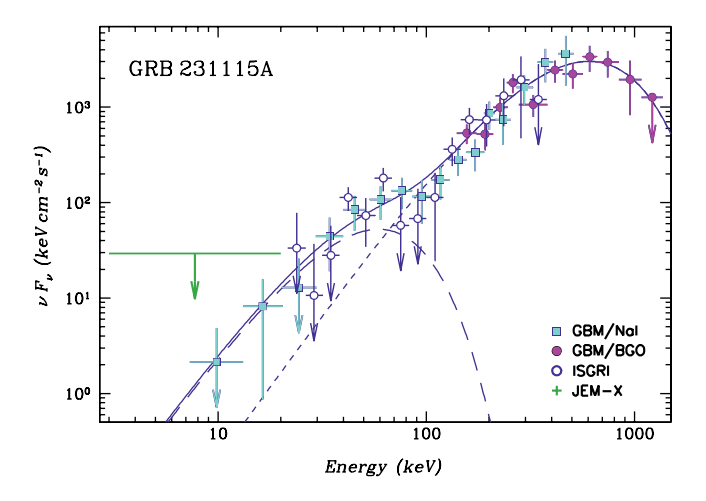


Рис. 13. Оптические наблюдения GRB 231115A в сравнении с кривыми блеска других коротких гамма-всплесков, приведенных к фотометрическому расстоянию  $D_L = 3.5$  Мпк. По горизонтали отложено время в часах относительно гамма-триггера Fermi/GBM, по вертикали — наблюдаемый поток в мкЯн. Красные незаполненные треугольники — верхние пределы на оптический поток от GRB 231115A по данным табл. 4, черные квадраты — данные оптических наблюдений коротких гамма-всплесков с измеренным красным смещением из работы Фонг и др. (2015), синие заполненные и незаполненные кружки — кривая блеска GRB 170817A в фильтрах r и i, соответственно, по данным Виллара и др. (2017).



**Рис. 14.** Широкополосный рентгеновский и гамма-спектр излучения ( $vF_v$ ) всплеска GRB 231115A по данным трех приборов: IBIS/ISGRI и JEM-X обсерватории INTEGRAL и GBM (детекторы BGO\01 и NaI\06) обсерватории *Fermi* (диапазон 3–1500 кэВ). Предел JEM-X соответствует одному стандартному отклонению. Спектр накоплен в течение всего всплеска (120 мс). Сплошной линией представлен результат наилучшей аппроксимации спектра моделью BBR+CPL, штриховой и пунктирной линиями — отдельные компоненты модели.

Модель	$\chi^2/N^a$	A	$lpha^{6}$	$kT_{bb},E_c{}^{\scriptscriptstyle  m I}$ кэВ	Поток $^{e}$ , $10^{-6}$ эрг $c^{-1}$ см $^{-2}$
BBR	112.4/140	$13.0 \pm 0.5^{\circ}$	_	135 ± 4	$4.68 \pm 0.48$
+					
BBR		$152 \pm 27^{\circ}$	_	$16.0 \pm 1.5$	$0.13 \pm 0.04$
CPL	113.3/139	$2.58 \pm 0.67^{\text{B}}$	$-1.08 \pm 0.02$	$196 \pm 8$	$6.21 \pm 0.50$
+					
BBR		$160 \pm 29^{\circ}$	_	$15.1 \pm 1.5$	$0.11 \pm 0.04$

**Таблица 5.** Результаты анализа широкополосного рентгеновского и гамма-спектра GRB 231115A в диапазоне 3–1500 кэВ по данным обсерваторий INTEGRAL и *Fermi* 

- $^{a}$  Минимальное значение  $\chi^{2}$  и число степеней свободы N.
- $^{6}$  Фотонный индекс степенной компоненты  $I_{100}~(E/100~{
  m kpB})^{-lpha}$ .
- $^{\rm B}$  Нормировка этой компоненты  $I_{100}$  на 100 кэ $^{\rm B}$  [ $10^{-2}$  фот  $^{\rm C^{-1}}$  см $^{-2}$  кэ $^{\rm B^{-1}}$ ].
- $^{\Gamma}$  Радиус излучающей поверхности  $R_{bb}$  [км] на расстоянии  $d_L = 3.5$  Мпк.
- $^{\mathrm{I}}$  Температура  $kT_{bb}$  или энергия экспоненциального завала  $E_{c}$ .
- <sup>е</sup> Коэффициент кросс-нормировки спектра GBM относительно спектра IBIS/ISGRI.
- Поток излучения в диапазоне 10-1000 кэВ.

телескопах, а также с отсутствием послесвечения в мягком рентгеновском диапазоне. Все это свидетельствует в пользу магнитарной версии происхождения всплеска GRB 231115A.

- 7. Положение GRB 231115A на диаграммах  $E_{p,i}-E_{iso}$  и  $T_{90,i}-EH$  подтверждает классификацию всплеска как гигантскую вспышку SGR. При типичных для гамма-всплесков типа I длительности ( $T_{90,i}=0.06$  с) и положении максимума в спектре ( $E_{p,i}\sim640$  кэВ), энергия, излученная во время всплеска в гамма-диапазоне  $E_{iso}\sim10^{45}$  эрг, характерна только для гигантских вспышек SGR.
- 8. Близость родительской галактики всплеска (М 82) предполагает уверенную регистрацию гравитационно-волнового сигнала от слияния нейтронных звезд (причины коротких гамма-всплесков), который, однако, детекторами LIGO/Virgo/ KAGRA обнаружен не был. Это является наиболее сильным доводом в пользу магнитарного происхождения всплеска и против возможности его объяснения слиянием пары нейтронных звезд, произошедшим в этой галактике. Существует, правда, очень маленькая вероятность случайного совпадения положения короткого далекого гамма-всплеска с положением этой галактики. Эту вероятность можно оценить как отношение видимой площади 11.'2 × 4.'3 галактики М 82 к полной площади неба  $p = 11' \times 4'/(4\pi) = 11' \times 4' (\pi/180/60')^2(4/\pi) \simeq 3 \times$  $\times$  10<sup>-7</sup> или 3400000 к 1 в пользу магнитарной версии всплеска. Более консервативная оценка вероятности в пользу магнитарной гипотезы была приведена Бернсом (2023) — он оценил, как 180 000 к 1.

Все вышесказанное, и особенно последние два пункта, позволяет с уверенностью утверждать, что всплеск GRB 231115A и в самом деле был не коротким гамма-всплеском, связанным со слиянием

нейтронных звезд, а гигантской вспышкой ранее неизвестного магнитара в галактике М 82.

#### ПОТОК ИЗЛУЧЕНИЯ ПО ДАННЫМ SPI-ACS

Детектор INTEGRAL/SPI-ACS записывает скорость счета фотонов только в одном широком энергетическом канале 0.085—10 МэВ с временным разрешением 50 мс. Поскольку исследуемый GRB 231115А имел длительность порядка 100 мс, на рис. 3 его кривая блеска по данным SPI-ACS состоит всего из двух последовательных бинов с общей значимостью около 10 стандартных отклонений. Она заметно проигрывает по информативности кривым блеска, измеренным другими приборами.

В то же время данные детектора SPI-ACS позволяют независимо оценить поток излучения GRB 231115A, используя результаты калибровки детектора SPI-ACS (исследования зависимости его эффективной площади от положения источника относительно ориентации спутника INTEGRAL и жесткости его энергетического спектра), основанной на результатах совместной регистрации большого числа гамма-всплесков в экспериментах INTEGRAL/SPI-ACS и Fermi/GBM (Минаев, Позаненко, 2023а).

GRB 231115А зарегистрирован в поле зрения апертурных телескопов INTEGRAL (угол между направлением на источник и центром поля зрения z=3.8), в этом случае эффективная площадь SPI-ACS близка к минимальному значению. Согласно Минаеву, Позаненко (2023а) коэффициент пересчета инструментальных отсчетов SPI-ACS в энергетические единицы эрг см $^{-2}$  в диапазоне 10-1000 кэВ для гамма-всплеска со спектральной жесткостью  $E_p=640$  кэВ, источник которого

в системе координат детектора имеет координаты  $(a,z)=(-109,^24,3,^8)$ , составляет  $k=5.1\times 10^{-10}$  эрг см $^{-2}$  отсч $^{-1}$ . Интегральный поток от GRB 231115A по данным детектора SPI-ACS составляет  $F=1117\pm 107$  отсч. или  $S=kF=(5.7^{+1.7}_{-1.4})\times 10^{-7}$  эрг см $^{-2}$  в диапазоне 10-1000 кэВ. В расчете ошибки потока помимо статистической ошибки измерения также учтена систематическая ошибка метода калибровки (см. детали в работе Минаева, Позаненко, 2023а). Полученное значение в пределах ошибки согласуется с измерением потока излучения в рамках спектрального анализа данных монитора Fermi/GBM,  $S=(7.25\pm 0.46)\times 10^{-7}$  эрг см $^{-2}$  (см. соответствующий раздел данной работы).

#### БЛАГОДАРНОСТИ

Работа основана на данных обсерватории INTEGRAL, полученных через ее Российский и Европейский центры научных данных, и обсерватории Fermi, полученных через NASA/HEASARC. ПМ благодарен Комитету по распределению наблюдательного времени (TAC) обсерватории INTEGRAL за поддержку его заявки в INTEGRAL АО-20 # 2040014, в результате которой получены данные наблюдений GRB 231115A.

#### ФИНАНСИРОВАНИЕ

Авторы (АП, ИЧ, НП, ПМ и СГ) благодарны Российскому Научному Фонду за финансовую поддержку (грант 23-12-00220).

#### СПИСОК ЛИТЕРАТУРЫ

- 1. Д'Авансо и др. (P.D'Avanzo, E. Palazzi, S. Campana, M.G. Bernardini, and D.B. Malesani), GRB Coordinates Network Rep. **35036**, 1 (2023a).
- 2. Д'Авансо и др. (P.D'Avanzo, A. Reguitti, L. Tomasella, E. Cappellaro, M.T. Botticella, F. Onori, L. Tartaglia, F. De Luise, et al.), GRB Coordinates Network Rep. **35077**, 1 (20236).
- 3. Амати и др. (L. Amati, F. Frontera, M. Tavani, J.J.M. in't Zand, A. Antonelli, E. Costa, M. Feroci, C. Guidorzi, et al.), Astron. Astropys. **390**, 81 (2002).
- 4. Ан и др. (J. An, S.Q. Jiang, X. Liu, S.Y. Fu, Z.P. Zhu, T.H. Lu, D. Xu, and J.Z. Liu), GRB Coordinates Network Rep. **35091**, 1 (2023).
- 5. Арно и др. (K.A. Arnaud), Astronomical Data Analysis Software and Systems V (Ed.G. Jacoby, J. Barnes), ASP Conf. Ser. **101**, 17 (1996).
- 6. Ахумада и др. (T. Ahumada, J. Wise, and M. Coughlin), GCN Coordinates Network Rep. **35046**, 1 (2023).
- 7. Балануца и др. (P. Balanutsa, N. Budnev, O. Gress, A. Sankovich, V. Lipunov, E. Gorbovskoy, N. Tiurina, D. Vlasenko, et al.), GRB Coordinates Network Rep. **35046**, 1 (2023).

- 8. Барко (О. Barco), MNRAS **506**, 806, (2021).
- 9. Барков, Позаненко (M.V. Barkov and A.S. Pozanenko), MNRAS **417**, 2161 (2011).
- Белкин С.О., Позаненко А.С., Мазаева Е.Д., Вольнова А.А., Минаев П.Ю., Томинага Н., Гребенев С.А., Человеков И.В. и др.), Письма в Астрон. журн. 46, 839 (2020) [S.O. Belkin, et al., Astron. Lett. 46, 783 (2020)].
- 11. Белкин и др. (S. Belkin, A.S. Pozanenko, P.Y. Minaev, N.S. Pankov, A.A. Volnova, A. Rossi, G. Stratta, S. Benetti, et al.), MNRAS **527**, 11507 (2024).
- 12. Берджес и др. (J.M. Burgess, J. Greiner, D. Begue, and F. Berlato), MNRAS **490**, 927 (2019).
- 13. Бернс (E. Burns), GRB Coordinates Network Rep. **35038**, 1 (2023).
- 14. Блинников С.И, Новиков И.Д., Переводчикова Т.В., Полнарев А.Г., Письма в Астрон. журн. **10**, 422 (1984) [S.I. Blinnikov, et al., Sov. Astron. Lett. **10**, 177 (1984)].
- 15. Ведренн и др. (G. Vedrenne, J.-P. Roques, V. Schönfelder, et al.), Astron. Astrophys. **411**, L63 (2003).
- 16. Виллар и др. (V.A. Villar, J. Guillochon, E. Berger, B.D. Metzger, P.S. Cowperthwaite, M. Nicholl, K.D. Alexander, P.K. Blanchard, et al.), Astrophys. J. Lett. **851**, L21 (2017).
- 17. Винклер и др. (C. Winkler, T.J.L. Courvoisier, G. Di Cocco, N. Gehrels, A. Giménez, S. Grebenev, W. Hermsen, J.M. Mas-Hesse, et al.), Astron. Astrophys. **411**, L1 (2003).
- 18. Вольнова и др. (A.A. Volnova, M.V. Pruzhinskaya, A.S. Pozanenko, S.I. Blinnikov, P. Yu. Minaev, O.A. Burkhonov, A.M. Chernenko, Sh.A. Ehgamberdiev, et al.), MNRAS **467**, 3500 (2017).
- 19. Вольнова и др. (A. Volnova, A. Pozanenko, E. Mazaeva, S. Belkin, I. Molotov, L. Elenin, N. Tungalag, D. Buckley), Anais da Academia Brasileir a de Ciencias, Physical Sciences **93**, id. 1 (2021).
- 20. Вусли (S.E. Woosley), Astrophys. J. 405, 273 (1993).
- 21. Галама и др. (T.J. Galama, P.M. Vreeswijk, J. van Paradijs, C. Kouveliotou, T. Augusteijn, O.R. Hainaut, F. Patat, H. Boehnhardt, et al.), Nature **395**, 670 (1998).
- 22. Герелс и др. (N. Gehrels, J.P. Norris, S.D. Barthelmy, J. Granot, Y. Kaneko, C. Kouveliotou, C.B. Markwardt, P. Meszaros, et al.), Nature 444, 1044 (2006).
- 23. Голенецкий С.В., Мазец Е.П., Ильинский В.Н., Гурьян Я.А., Письма в Астрон. журн. 5, 636 (1979) [S.V. Golenetskij, et al., Sov. Astron. Lett. 5, 340 (1979)].
- 24. Голенецкий и др. (S.V. Golenetskii, E.P. Mazets, R.L. Aptekar, V.N. Ilinskii), Nature **306**, 451 (1983).

- 25. Грефенстетте, Брайтман (B. Grefenstette and M. Brightman), GRB Coordinates Network Rep. **35066**, 1 (2023).
- 26. Грубер и др. (D. Gruber, A. Goldstein, V. Weller von Ahlefeld, N. Bhat, E. Bissaldi, M.S. Briggs, D. Byrne, W.H. Cleveland, et al.), Astrophys. J. Suppl. Ser. 211, 12 (2014).
- 27. Гупта и др. (R. Gupta, S.R. Oates, S.B. Pandey, A.J. Castro-Tirado, J.C. Joshi, Y.-D. Hu, A.F. Valeev, B.B. Zhang, et al.), MNRAS **505**, 4086 (2021).
- 28. Далесси и др. (S. Dalessi, O.J. Roberts, P. Veres, and C. Meegan), GRB Coordinates Network Rep. **35044**, 1 (2023).
- 29. Дезалай и др. (J.-P. Dezalay, J.-L. Atteia, C. Barat, M. Boer, F. Darracq, P. Goupil, M. Niel, R. Talon, et al.), Astrophys. J. **490**, L17 (1997).
- 30. Дункан, Томпсон (R.C. Duncan and C. Thompson), Astrophys. J. Lett. **392**, L9 (1992).
- 31. Жианг и др. (S.Q. Jiang, X. Liu, S.Y. Fu, J. An, Z.P. Zhu, T.H. Lu, D. Xu, L.F. Huo, et al.), GRB Coordinates Network Rep. **35056**, 1 (2023).
- 32. Израель и др. (G.L. Israel, T. Belloni, L. Stella, Y. Rephaeli, D.E. Gruber, P. Casella, S. Dall'Osso, N. Rea, M. Persic, and R.E. Rothschild), Astrophys. J. Lett. **628**, L53 (2005).
- 33. Искандар и др. (A. Iskandar, F. Wang, J. Zhu, L. Wang, X. Zeng, C. Andrade, A. de Ugarte Postigo, D. Akl, et al.), GRB Coordinates Network Rep. **35051**, 1 (2023).
- 34. Канн и др. (D.A. Kann, S. Klose, B. Zhang, S. Covino, N.R. Butler, D. Malesani, E. Nakar, A.C. Wilson, et al.), Astrophys. J. **734**, 96, (2011).
- 35. Кано и др. (Z. Cano, S.-Q. Wang, Z.-G. Dai, and X.-F. Wu), Adv. Astron. ID 8929054 (2017).
- 36. Kapтин (A.P. Curtin), GRB Coordinates Network Rep. **35070**, 1 (2023).
- Коллаборация IceCube (The IceCube Collaboration), GRB Coordinates Network Rep. 35053, 1 (2023).
- 38. Коллаборация LIGO и др. (the LIGO Scientific Collaboration, the Virgo Collaboration, and the KAGRA Collaboration), GRB Coordinates Network Rep. **35049**, 1 (2023).
- 39. Коллаборация MAGIC (the MAGIC collaboration), GRB Coordinates Network Rep. **35068**, 1 (2023).
- 40. Коннатон (V. Connaughton), Astrophys. J. **567**, 1028 (2002).
- 41. Кошут и др. (T. Koshut, W. Paciesas, C. Kouveliotou, J. van Paradijs, G.N. Pendleton, G.J. Fishman, and C.A. Meegan), Astrophys. J. **463**, 570 (1996).
- 42. Крайдер (A. Crider), arXiv: astro-ph/0601019 (2006).
- 43. Ксю и др. (W.C. Xue, S.L. Xiong, X.B. Li, and C.K. Li), GRB Coordinates Network Rep. **35060**, 1 (2023).

- 44. Кувелиоту и др. (С. Kouveliotou, С.А. Meegan, G.J. Fishman, N.P. Bhat, M.S. Briggs, T.M. Koshut, W.S. Paciesas, and G.N. Pendleton), Astrophys. J. 413, L101 (1993).
- 45. Кувелиоту и др. (С. Kouveliotou, T. Strohmayer, K. Hurley, J. van Paradijs, M.H. Finger, S. Dieters, P. Woods, C. Thompson, and R.C. Duncan), Astrophys. J. **510**, L115 (1999).
- 46. Кумар и др. (R. Kumar, A. Salgundi, V. Swain, Y. Wagh, V. Bhalerao, G.C. Anupama, S. Barway, R. Norboo, et al.), GRB Coordinates Network Rep. **35041**, 1 (2023a).
- 47. Кумар и др. (R. Kumar, V. Karambelkar, V. Swain, V. Bhalerao, A. Salgundi, Y. Wagh, G.C. Anupama, S. Barway, et al.), GRB Coordinates Network Rep. **35055**, 1 (20236).
- 48. Куулкерс и др. (E. Kuulkers, C. Ferrigno, P. Kretschmar, J. Alfonso-Garzón, M. Baab, A. Bazzano, G. Bélanger, I. Benson, et al.), New Astron. Rev. 93, 01629 (2021).
- 49. Лабанти и др. (C. Labanti, G. Di Cocco, G. Ferro, F. Gianotti, A. Mauri, E. Rossi, J.B. Stephen, A. Traci, and M. Trifoglio), Astron. Astrophys. **411**, L149 (2003).
- 50. Лебран и др. (F. Lebrun, J.P. Leray, P. Lavocat, J. Crétolle, M. Arqués, C. Blondel, C. Bonnin, A. Bouére, et al.), Astron. Astrophys. **411**, L141 (2003).
- 51. Леван и др. (A. Levan, B.P. Gompertz, O.S. Salafia, M. Bulla, E. Burns, K. Hotokezaka, L. Izzo, G.P. Lamb, et al.), arXiv:2307.02098 (2023).
- 52. Липунов и др. (V. Lipunov, V. Kornilov, E. Gorbovskoy, K. Zhirkov, N. Tyurina, P. Balanutsa, A. Kuznetsov, V. Senik, et al.), GRB Coordinates Network Rep. **35039**, 1 (2023a).
- 53. Липунов и др. (V. Lipunov, V. Kornilov, E. Gorbovskoy, K. Zhirkov, N. Tyurina, P. Balanutsa, A. Kuznetsov, V. Senik, et al.), GRB Coordinates Network Rep. **35042**, 1 (20236).
- 54. Лунд и др. (N. Lund, C. Budtz-Jørgensen, N.J. Westergaard, S. Brandt, I.L Rasmussen, A. Hornstrup, C.A. Oxborrow, J. Chenevez, et al.), Astron. Astrophys. **411**, L231 (2003).
- 55. Мазец Е.П., Голенецкий С.В, Гурьян Я.А., Письма в Астрон. журн. **5**, 641 (1979a) [Е.Р. Mazets, et al., Sov. Astron. Lett. **5**, 343 (1979a)].
- 56. Мазец и др. (E.P. Mazets, S.V. Golentskii, V.N. Ilinskii, R.L. Aptekar, and Iu.A. Guryan), Nature **282**, 587 (19796).
- 57. Мазец и др. (E.P. Mazets, S.V. Golenetskii, V.N. Ilinskii, V.N. Panov, R.L. Aptekar, I.A. Gurian, M.P. Proskura, I.A. Sokolov, Z.I. Sokolova, and I.V. Kharitonova), Astrophys. Space Sci. 80, 3 (1981).
- 58. Мазец Е.П., Клайн Т.Л., Аптекарь Р.Л. и др., Письма в Астрон. журн. **25**, 727 (1999) [E.P. Mazets, T.L. Cline, R.L. Aptekar', P. Butterworth, S.V. Golenetskii, V.N. Il'inskii, V.D. Pal'shin, and D.D. Frederiks, Astron. Lett. **25**, 635 (1999)].

- 59. Мазец и др. (E.P. Mazets, T.L. Cline, R.L. Aptekar, D.D. Frederiks, S.V. Golenetskii, et al.), arXiv: astro-ph/0502541, (2005).
- 60. Мазец и др. (E.P. Mazets, R.L. Aptekar, T.L. Cline, D.D. Frederiks, J.O. Goldsten, S.V. Golenetskii, K. Hurley, A. von Kienlin, and V.D. Pal'shin), Astrophys. J. **680**, 545 (2008).
- Межарос, Рис (Р. Meszaros and M.J. Rees), Astrophys. J. 397, 570 (1992).
- 62. Mexapoc (P. Meszaros), Rep. Progress Phys. **69**, 2259 (2006).
- 63. Мерегетти и др. (S. Mereghetti, D. Gotz, C. Ferrigno, E. Bozzo, V. Savchenko, L. Ducci, and J. Borkowski), GRB Coordinates Network Rep. 35037, 1 (2023).
- 64. Метцгер и др. (B.D. Metzger, E. Quataert, and T.A. Thompson), MNRAS **385**, 1455 (2008).
- 65. Миган и др. (C. Meegan, G. Lichti, P.N. Bhat, E. Bissaldi, M.S. Briggs, V. Connaughton, R. Diehl, G. Fishman, et al.), Astrophys. J. **702**, 791 (2009).
- 66. Минаев П.Ю., Позаненко А.С., Лозников В.М., Письма в Астроном. журн. **36**, 744 (2010a) [P. Minaev, A. Pozanenko, and V. Loznikov, Astron. Lett. **36**, 707 (2010a)].
- 67. Минаев и др. (P. Minaev, A. Pozanenko, and V. Loznikov), Astrophys. Bull. **65**, 343 (2010б).
- 68. Минаев П.Ю., Гребенев С.А., Позаненко А.С., Мольков С.В., Фредерикс Д.Д., Голенецкий С.В., Письма в Астрон. журн. **38**, 687 (2012) [P.Y. Minaev, et al., Astron. Lett. **38**, 613 (2012)].
- 69. Минаев П.Ю., Позаненко А.С., Мольков С.В., Гребенев С.А., Письма в Астрон. журн. **40**, 271 (2014) [P. Yu. Minaev, A.S. Pozanenko, S.V. Molkov, and S.A. Grebenev, Astron. Lett. **40**, 235 (2014)].
- 70. Минаев П.Ю., Позаненко А.С., Письма в Астрон. журн. **43**, 3 (2017) [P. Yu. Minaev, A.S. Pozanenko, Astron. Lett. **43**, 1 (2017)].
- 71. Минаев, Позаненко (P. Minaev and A. Pozanenko), MNRAS **492**, 1919 (2020a).
- 72. Минаев П.Ю., Позаненко А.С., Письма в Астроном. журн. **46**, 611 (2020б) [P. Yu. Minaev, A.S. Pozanenko, Astron. Lett. **46**, 573 (2020б)].
- 73. Минаев, Позаненко (P. Minaev and A. Pozanenko), MNRAS **504**, 926 (2021).
- 74. Минаев, Позаненко (P. Minaev and A. Pozanenko), MNRAS **525**, 2411 (2023a).
- Минаев, Позаненко (Р. Minaev and A. Pozanenko), GRB Coordinates Network Rep. 35059, 1 (20236).
- 76. Митрофанов И.Г., Аттея Ж.Л., Бара К., Ведренн А.Г., Вильчинская А.С., Долидзе В.С., Дьячков А.В., Жордан Е. и др., Письма в Астрон. журн. **16**, 302 (1990) [I.G. Mitrofanov, et al., Sov. Astron. Lett. **16**, 129 (1990)].
- 77. Накар и др. (E. Nakar, A. Gal-Yam, T. Piran, et al.), astro-ph/05002148 (2005).

- 78. Норрис и др. (J.P. Norris, J.T. Bonnell, D. Kazanas, J.D. Scargle, J. Hakkila, and T.W. Giblin), Astrophys. J. **627**, 324 (2005).
- 79. Норрис и др. (J.P. Norris, N. Gehrels, and J.D. Scargle), Astrophys. J. **717**, 411 (2010).
- 80. Орли и др. (K. Hurley, S.E. Boggs, D.M. Smith, et al.), Nature **434**, 1098 (2005).
- 81. Осборн и др. (J.P. Osborne, B. Sbarufatti, A. D'Ai, A. Melandri, J.D. Gropp, S. Dichiara, J.A. Kennea, K.L. Page, et al.), GRB Coordinates Network Rep. **35064**, 1 (2023).
- 82. Палмер и др. (D.M. Palmer, S. Barthelmy, N. Gehrels, R.M. Kippen, T. Cayton, et al.), Nature 434, 1107 (2005).
- 83. Пандей и др. (S.B. Pandey, Y. Hu, A.J. Castro-Tirado, A.S. Pozanenko, R. Sanchez-Ram?rez, J. Gorosabel, S. Guziy, M. Jelinek, et al.), MNRAS 485, 5294, (2019).
- 84. Панков и др. (N. Pankov, A. Pozanenko, V. Kouprianov, and S. Belkin), Proc. of the XXIII Inter. Conf. DAMDID/RCDL-2021 (Ed.A. Pozanenko, S. Stupnikov, B. Thalheim, E. Mendez, N. Kiselyova, Moscow, Russia, October 26–29, 2021), CCIS **1620**, 104 (2022).
- 85. Пацейсас и др. (W.S. Paciesas, C.A. Meegan, A. von Kienlin, P.N. Bhat, E. Bissaldi, M.S. Briggs, J.M. Burgess, V. Chaplin, et al.), Astrophys. J. Suppl. Ser. **199**, 18 (2012).
- 86. Пачинский(2005) (B. Paczynski), Astrophys. J. **308**, L43 (1986).
- 87. Пачинский (B. Paczynski), Astrophys. J. Lett. **494**, L45 (1998).
- 88. Перли и др. (D.A. Perley, K.-R. Hinds, J. Wise, V. Karambelkar, T.F. Ahumada, and M.M. Kasliwal), GRB Coordinates Network Rep. **35067**, 1 (2023).
- 89. Позаненко и др. (A. Pozanenko, V. Loznikov, and R. Preece), *Proceedings of the XLth Rencontres de Moriond* (Ed.J. Dumarchez, J.T. Thanh), 253 (2005).
- 90. Позаненко и др. (A.S. Pozanenko, M.V. Barkov, P.Y. Minaev, A.A. Volnova, E.D. Mazaeva, A.S. Moskvitin, M.A. Krugov, V.A. Samodurov, V.M. Loznikov, and M. Lyutikov), Astrophys. J. **852**, L30 (2018).
- 91. Позаненко А.С., Минаев П.Ю., Гребенев С.А., Человеков И.В., Письма в Астроном. журн. **45**, 768 (2019) [A.S. Pozanenko, et al., Astron. Lett. **45**, 710 (2019)].
- 92. Рау и др. (A. Rau, A. von Kienlin, K. Hurley, and G.G. Lichti), Astron. Astrophys. **438**, 1175 (2005).
- 93. Рончини и др. (S. Ronchini, A. Tohuvavohu, J. De-Launay, G. Raman, T. Parsotan, and J.A. Kennea), GRB Coordinates Network Rep. **35065**, 1 (2023).
- 94. Россвог (S. Rosswog), MNRAS 376, L48 (2007).
- 95. Росси и др., (A. Rossi, B. Rothberg, E. Palazzi, D.A. Kann, P. D'Avanzo, L. Amati, S. Klose, A. Perego, et al.), Astrophys. J. 932, 1 (2022).

- 96. Тарнопольский (M. Tarnopolski), Astrophys. J. **870**, 105 (2019).
- 97. Томпсон, Дункан (С. Thompson and R.C. Duncan), MNRAS **275**, 255 (1995).
- 98. Томпсон, Дункан (С. Thompson and R.C. Duncan), Astrophys. J. **561**, 980 (2001).
- 99. Турпин и др. (D. Turpin, W. Thuillot, D. Souami, C. Adami, E. Le Floc'h, D. Gotz, F. Schussler, A. de Ugarte Postigo, et al.), GRB Coordinates Network Rep. **35078**, 1 (2023).
- 100. Феган и др. (D. Fegan, B. McBreen, D. O'Brien, and C. O'Sullivan), Nature **271**, 731 (1978).
- 101. Фенимор и др. (E.E. Fenimore, J.J.M. in't Zand, J.P. Norris, J.T. Bonnell, and R.J. Nemiroff), Astrophys. J. **448**, L101 (1995).
- 102. Ферочи и др. (M. Feroci, F. Frontera, E. Costa, L. Amati, M. Tavani, M. Rapisarda, and M. Orlandini), Astrophys. J. Lett. **515**, L9 (1999).
- 103. Фонг и др. (W. Fong, E. Berger, R. Margutti, and B.A. Zauderer), Astrophys. J. **815**, 2 (2015).
- 104. Фредерикс Д.Д., Голенецкий С.В., Пальшин В.Д., и др., Письма в Астрон. журн. 33, 3 (2007a) [D.D. Frederiks, S.V. Golenetskii, V.D. Palshin, R.L. Aptekar, V.N. Ilyinskii, F.P. Oleinik, E.P. Mazets, and T.L. Cline, Astron. Lett. 33, 1 (2007a)].
- 105. Фредерикс Д.Д., Голенецкий С.В., Пальшин В.Д., и др., Письма в Астрон. журн. **33**, 22 (2007а) [D.D. Frederiks, V.D. Palshin, R.L. Aptekar, S.V. Golenetskii, T.L. Cline, and E.P. Mazets, Astron. Lett. **33**, 19 (20076)].
- 106. Фредерикс и др. (D. Frederiks, D. Svinkin, A. Lysenko, A. Ridnaia, Yu. Temiraev, A. Tsvetkova,

- M. Ulanov, and T. Cline), GRB Coordinates Network Rep. **35062**, 1 (2023).
- 107. Хаккила, Прис (J. Hakkila and R. Preece), Astrophys. J. **740**, id. 104 (2011).
- 108. Хаяцу и др. (S. Hayatsu, N. Higuchi, I. Takahashi, M. Sasada, K.L. Murata, M. Niwano, S. Sato, H. Seki, et al.), GRB Coordinates Network Rep. **35057**, 1 (2023).
- 109. Ху и др. (L. Hu, M. Busmann, D. Gruen, A. Palmese, B. O'Connor, A. Riffeser, A. Shankar, and R. Zoeller), GRB Coordinates Network Rep. **35092**, 1 (2023).
- 110. Чамберс и др. (K.C. Chambers, E.A. Magnier, N. Metcalfe, H.A. Flewelling, M.E. Huber, C.Z. Waters, L. Denneau, P.W. Draper, et al.), arXiv, **1612.05560** (2016).
- 111. Чен и др. (T.-W. Chen, C.-S. Lin, A.J. Levan, S. Schulze, M. Fraser, P. D'Avanzo, J. Lyman (Warwick), Y.-C. Cheng, et al.), GRB Coordinates Network Rep. **35052**, 1 (2023).
- 112. Чеунг и др. (C.C. Cheung, M. Kerr, J.E. Grove, R. Woolf, A. Goldstein, C.A. Wilson-Hodge, and M.S. Briggs), GRB Coordinates Network Rep. **35045**, 1 (2023).
- 113. Шлафли, Финкбайнер (E.F. Schlafly, D.P. Finkbeiner), Astrophys. J. **737**, 103 (2011).
- 114. Эбботт и др. (B.P. Abbott, R. Abbott, T.D. Abbott, F. Acernese, K. Ackley, C. Adams, T. Adams, P. Addesso, R.X. Adhikari, V.B. Adya, et al.), Astrophys. J. **848**, L12 (2017a).
- 115. Эбботт и др. (B.P. Abbott, R. Abbott, T.D. Abbott, F. Acernese, K. Ackley, C. Adams, T. Adams, P. Addesso, R.X. Adhikari, V.B. Adya, et al.), Astrophys. J. **848**, L13 (20176).